



Estudio sobre cotas para la amplitud del espectro Laplaciano sin signo de un grafo

Laura Mayely Leal Chacón

Candidata a optar el grado de
Magíster en Ciencias Mención Matemáticas

Directora:
Dra. María Rosario Robbiano Bustamante

Antofagasta, Chile
Enero de 2018



¹EULER, Leonhard. *Solutio problematis ad geometriam situs pertinentis*. Disponible en <http://eulerarchive.maa.org>.



Dado el mapa de Königsberg, con el río Pregel dividiendo el plano en cuatro regiones distintas, que están unidas a través de los siete puentes,

¹EULER, Leonhard. *Solutio problematis ad geometriam situs pertinentis*. Disponible en <http://eulerarchive.maa.org>.



Dado el mapa de Königsberg, con el río Pregel dividiendo el plano en cuatro regiones distintas, que están unidas a través de los siete puentes, ¿es posible dar un paseo comenzando desde cualquiera de estas regiones, pasando por todos los puentes, recorriendo solo una vez cada uno, y regresando al mismo punto de partida? ¹

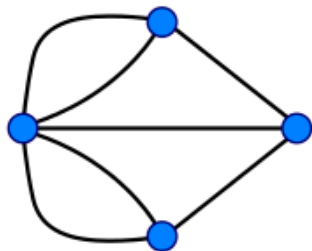
¹EULER, Leonhard. Solutio problematis ad geometriam situs pertinentis. Disponible en <http://eulerarchive.maa.org>.

²A.E. Brouwer and W.H. Haemers. Spectra of Graphs. Springer, New York, 2012.

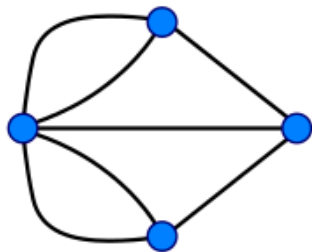


²A.E. Brouwer and W.H. Haemers. Spectra of Graphs. Springer, New York, 2012.





²A.E. Brouwer and W.H. Haemers. Spectra of Graphs. Springer, New York, 2012.



²A.E. Brouwer and W.H. Haemers. Spectra of Graphs. Springer, New York, 2012.

AGENDA

1 Preliminares

- Notaciones
- Definiciones
- Propiedades
 - Matrices asociadas a un grafo G
 - ✓ A_G ✓ L_G ✓ Q_G
 - ✓ Espectro ✓ Amplitud

2 Distintas cotas para las amplitudes del espectro de matrices asociadas a un grafo

● Cotas superiores

- ✓ Para $s(A)$ de Mirsky
- ✓ Para $s_L(G)$ de Chen & Das
- ✓ Para $s_Q(G)$ (Establecida)

● Cotas inferiores

- ✓ Para $s(A)$ de Barnes & Hoffman
- ✓ Para $s(A)$ de Jiang & Zhan
- ✓ Para $s_Q(G)$ (Establecida)

3 Comparación

4 Conclusiones

Notaciones³ y Propiedades⁴⁻⁵

- 1 $G = (V, E)$ es un grafo simple (sin loops) y no dirigido con:

³C. Meyer. Matrix analysis and applied linear algebra. Siam, 2000.

⁴R. Balakrishnan and K. Ranganathan. A Textbook of Graphs Theory. Springer, New York, 2012.

⁵D.M. Cvetkovic, M. Doob, and H. Sachs. Spectra of Graphs Theory and Application. Springer, New York, 2012.

Notaciones³ y Propiedades⁴⁻⁵

- 1 $G = (V, E)$ es un grafo simple (sin loops) y no dirigido con:
 - ✓ N° vértices $|V| = n$,

³C. Meyer. Matrix analysis and applied linear algebra. Siam, 2000.

⁴R. Balakrishnan and K. Ranganathan. A Textbook of Graphs Theory. Springer, New York, 2012.

⁵D.M. Cvetkovic, M. Doob, and H. Sachs. Spectra of Graphs Theory and Application. Springer, New York, 2012.

Notaciones³ y Propiedades⁴⁻⁵

1 $G = (V, E)$ es un grafo simple (sin loops) y no dirigido con:

- ✓ N° vértices $|V| = n$,
- ✓ N° aristas $|E| = m$.

³C. Meyer. Matrix analysis and applied linear algebra. Siam, 2000.

⁴R. Balakrishnan and K. Ranganathan. A Textbook of Graphs Theory. Springer, New York, 2012.

⁵D.M. Cvetkovic, M. Doob, and H. Sachs. Spectra of Graphs Theory and Application. Springer, New York, 2012.

Notaciones³ y Propiedades⁴⁻⁵

- 1 $G = (V, E)$ es un grafo simple (sin loops) y no dirigido con:
 - ✓ N° vértices $|V| = n$,
 - ✓ N° aristas $|E| = m$.
- 2 Sea d_u el grado de $u \in V$.

³C. Meyer. Matrix analysis and applied linear algebra. Siam, 2000.

⁴R. Balakrishnan and K. Ranganathan. A Textbook of Graphs Theory. Springer, New York, 2012.

⁵D.M. Cvetkovic, M. Doob, and H. Sachs. Spectra of Graphs Theory and Application. Springer, New York, 2012.

Notaciones³ y Propiedades⁴⁻⁵

- 1 $G = (V, E)$ es un grafo simple (sin loops) y no dirigido con:
 - ✓ N° vértices $|V| = n$,
 - ✓ N° aristas $|E| = m$.
- 2 Sea d_u el grado de $u \in V$.
 - a) Si $d_u = 1$, entonces u es pendiente.

³C. Meyer. Matrix analysis and applied linear algebra. Siam, 2000.

⁴R. Balakrishnan and K. Ranganathan. A Textbook of Graphs Theory. Springer, New York, 2012.

⁵D.M. Cvetkovic, M. Doob, and H. Sachs. Spectra of Graphs Theory and Application. Springer, New York, 2012.

Notaciones³ y Propiedades⁴⁻⁵

1 $G = (V, E)$ es un grafo simple (sin loops) y no dirigido con:

- ✓ N° vértices $|V| = n$,
- ✓ N° aristas $|E| = m$.

2 Sea d_u el grado de $u \in V$.

- a) Si $d_u = 1$, entonces u es pendiente.
- b) $\Delta = d_1 \geq d_2 \geq \dots \geq d_n = \delta$.

³C. Meyer. Matrix analysis and applied linear algebra. Siam, 2000.

⁴R. Balakrishnan and K. Ranganathan. A Textbook of Graphs Theory. Springer, New York, 2012.

⁵D.M. Cvetkovic, M. Doob, and H. Sachs. Spectra of Graphs Theory and Application. Springer, New York, 2012.

Notaciones³ y Propiedades⁴⁻⁵

1 $G = (V, E)$ es un grafo simple (sin loops) y no dirigido con:

- ✓ N° vértices $|V| = n$,
- ✓ N° aristas $|E| = m$.

2 Sea d_u el grado de $u \in V$.

- a) Si $d_u = 1$, entonces u es pendiente.
- b) $\Delta = d_1 \geq d_2 \geq \dots \geq d_n = \delta$.
- c) D_G es la matriz diagonal de grados.

³C. Meyer. Matrix analysis and applied linear algebra. Siam, 2000.

⁴R. Balakrishnan and K. Ranganathan. A Textbook of Graphs Theory. Springer, New York, 2012.

⁵D.M. Cvetkovic, M. Doob, and H. Sachs. Spectra of Graphs Theory and Application. Springer, New York, 2012.

Notaciones³ y Propiedades⁴⁻⁵

1 $G = (V, E)$ es un grafo simple (sin loops) y no dirigido con:

- ✓ N° vértices $|V| = n$,
- ✓ N° aristas $|E| = m$.

2 Sea d_u el grado de $u \in V$.

a) Si $d_u = 1$, entonces u es pendiente.

b) $\Delta = d_1 \geq d_2 \geq \dots \geq d_n = \delta$.

c) D_G es la matriz diagonal de grados.

d) $\sum_{i=1}^n d_i = 2m$.

³C. Meyer. Matrix analysis and applied linear algebra. Siam, 2000.

⁴R. Balakrishnan and K. Ranganathan. A Textbook of Graphs Theory. Springer, New York, 2012.

⁵D.M. Cvetkovic, M. Doob, and H. Sachs. Spectra of Graphs Theory and Application. Springer, New York, 2012.

Notaciones³ y Propiedades⁴⁻⁵

1 $G = (V, E)$ es un grafo simple (sin loops) y no dirigido con:

- ✓ N° vértices $|V| = n$,
- ✓ N° aristas $|E| = m$.

$$5 \quad \|A\|_F^2$$

2 Sea d_u el grado de $u \in V$.

a) Si $d_u = 1$, entonces u es pendiente.

b) $\Delta = d_1 \geq d_2 \geq \dots \geq d_n = \delta$.

c) D_G es la matriz diagonal de grados.

d)
$$\sum_{i=1}^n d_i = 2m.$$

³C. Meyer. Matrix analysis and applied linear algebra. Siam, 2000.

⁴R. Balakrishnan and K. Ranganathan. A Textbook of Graphs Theory. Springer, New York, 2012.

⁵D.M. Cvetkovic, M. Doob, and H. Sachs. Spectra of Graphs Theory and Application. Springer, New York, 2012.

Notaciones³ y Propiedades⁴⁻⁵

1 $G = (V, E)$ es un grafo simple (sin loops) y no dirigido con:

- ✓ N° vértices $|V| = n$,
- ✓ N° aristas $|E| = m$.

2 Sea d_u el grado de $u \in V$.

- a) Si $d_u = 1$, entonces u es pendiente.
- b) $\Delta = d_1 \geq d_2 \geq \dots \geq d_n = \delta$.
- c) D_G es la matriz diagonal de grados.
- d) $\sum_{i=1}^n d_i = 2m$.

$$3 \quad \|A\|_F^2 = \begin{cases} \text{tr}(A^* A) \end{cases}$$

³C. Meyer. Matrix analysis and applied linear algebra. Siam, 2000.

⁴R. Balakrishnan and K. Ranganathan. A Textbook of Graphs Theory. Springer, New York, 2012.

⁵D.M. Cvetkovic, M. Doob, and H. Sachs. Spectra of Graphs Theory and Application. Springer, New York, 2012.

Notaciones³ y Propiedades⁴⁻⁵

1 $G = (V, E)$ es un grafo simple (sin loops) y no dirigido con:

- ✓ N° vértices $|V| = n$,
- ✓ N° aristas $|E| = m$.

2 Sea d_u el grado de $u \in V$.

- a) Si $d_u = 1$, entonces u es pendiente.
- b) $\Delta = d_1 \geq d_2 \geq \dots \geq d_n = \delta$.
- c) D_G es la matriz diagonal de grados.
- d) $\sum_{i=1}^n d_i = 2m$.

$$3 \quad \|A\|_F^2 = \begin{cases} \text{tr}(A^* A) \\ \sum_{i,j=1}^n |a_{ij}|^2 \end{cases}$$

³C. Meyer. Matrix analysis and applied linear algebra. Siam, 2000.

⁴R. Balakrishnan and K. Ranganathan. A Textbook of Graphs Theory. Springer, New York, 2012.

⁵D.M. Cvetkovic, M. Doob, and H. Sachs. Spectra of Graphs Theory and Application. Springer, New York, 2012.

Notaciones³ y Propiedades⁴⁻⁵

1 $G = (V, E)$ es un grafo simple (sin loops) y no dirigido con:

- ✓ N° vértices $|V| = n$,
- ✓ N° aristas $|E| = m$.

2 Sea d_u el grado de $u \in V$.

- a) Si $d_u = 1$, entonces u es pendiente.
- b) $\Delta = d_1 \geq d_2 \geq \dots \geq d_n = \delta$.
- c) D_G es la matriz diagonal de grados.
- d) $\sum_{i=1}^n d_i = 2m$.

$$3 \quad \|A\|_F^2 = \begin{cases} \text{tr}(A^* A) \\ \sum_{i,j=1}^n |a_{ij}|^2 \\ \sum_{i=1}^{\min\{s,t\}} \sigma_i^2(A) \end{cases}$$

³C. Meyer. Matrix analysis and applied linear algebra. Siam, 2000.

⁴R. Balakrishnan and K. Ranganathan. A Textbook of Graphs Theory. Springer, New York, 2012.

⁵D.M. Cvetkovic, M. Doob, and H. Sachs. Spectra of Graphs Theory and Application. Springer, New York, 2012.

Notaciones³ y Propiedades⁴⁻⁵

1 $G = (V, E)$ es un grafo simple (sin loops) y no dirigido con:

- ✓ N° vértices $|V| = n$,
- ✓ N° aristas $|E| = m$.

2 Sea d_u el grado de $u \in V$.

- a) Si $d_u = 1$, entonces u es pendiente.
- b) $\Delta = d_1 \geq d_2 \geq \dots \geq d_n = \delta$.
- c) D_G es la matriz diagonal de grados.
- d) $\sum_{i=1}^n d_i = 2m$.

$$3 \quad \|A\|_F^2 = \begin{cases} \text{tr}(A^* A) \\ \sum_{i,j=1}^n |a_{ij}|^2 \\ \sum_{i=1}^{\min\{s,t\}} \sigma_i^2(A) \end{cases}$$

$$4 \quad \text{tr}(A) = \sum_{i=1}^n a_{ii}$$

³C. Meyer. Matrix analysis and applied linear algebra. Siam, 2000.

⁴R. Balakrishnan and K. Ranganathan. A Textbook of Graphs Theory. Springer, New York, 2012.

⁵D.M. Cvetkovic, M. Doob, and H. Sachs. Spectra of Graphs Theory and Application. Springer, New York, 2012.

Notaciones³ y Propiedades⁴⁻⁵

1 $G = (V, E)$ es un grafo simple (sin loops) y no dirigido con:

- ✓ N° vértices $|V| = n$,
- ✓ N° aristas $|E| = m$.

2 Sea d_u el grado de $u \in V$.

- a) Si $d_u = 1$, entonces u es pendiente.
- b) $\Delta = d_1 \geq d_2 \geq \dots \geq d_n = \delta$.
- c) D_G es la matriz diagonal de grados.
- d) $\sum_{i=1}^n d_i = 2m$.

$$3 \quad \|A\|_F^2 = \begin{cases} \text{tr}(A^* A) \\ \sum_{i,j=1}^n |a_{ij}|^2 \\ \sum_{i=1}^{\min\{s,t\}} \sigma_i^2(A) \end{cases}$$

$$4 \quad \text{tr}(A) = \sum_{i=1}^n a_{ii} = \sum_{i=1}^n \lambda_i$$

³C. Meyer. Matrix analysis and applied linear algebra. Siam, 2000.

⁴R. Balakrishnan and K. Ranganathan. A Textbook of Graphs Theory. Springer, New York, 2012.

⁵D.M. Cvetkovic, M. Doob, and H. Sachs. Spectra of Graphs Theory and Application. Springer, New York, 2012.

Notaciones³ y Propiedades⁴⁻⁵

1 $G = (V, E)$ es un grafo simple (sin loops) y no dirigido con:

- ✓ N° vértices $|V| = n$,
- ✓ N° aristas $|E| = m$.

2 Sea d_u el grado de $u \in V$.

- a) Si $d_u = 1$, entonces u es pendiente.
- b) $\Delta = d_1 \geq d_2 \geq \dots \geq d_n = \delta$.
- c) D_G es la matriz diagonal de grados.
- d) $\sum_{i=1}^n d_i = 2m$.

$$3 \quad \|A\|_F^2 = \begin{cases} \text{tr}(A^* A) \\ \sum_{i,j=1}^n |a_{ij}|^2 \\ \sum_{i=1}^{\min\{s,t\}} \sigma_i^2(A) \end{cases}$$

$$4 \quad \text{tr}(A) = \sum_{i=1}^n a_{ii} = \sum_{i=1}^n \lambda_i$$

5 Si A es simétrica,

³C. Meyer. Matrix analysis and applied linear algebra. Siam, 2000.

⁴R. Balakrishnan and K. Ranganathan. A Textbook of Graphs Theory. Springer, New York, 2012.

⁵D.M. Cvetkovic, M. Doob, and H. Sachs. Spectra of Graphs Theory and Application. Springer, New York, 2012.

Notaciones³ y Propiedades⁴⁻⁵

1 $G = (V, E)$ es un grafo simple (sin loops) y no dirigido con:

- ✓ N° vértices $|V| = n$,
- ✓ N° aristas $|E| = m$.

2 Sea d_u el grado de $u \in V$.

- a) Si $d_u = 1$, entonces u es pendiente.
- b) $\Delta = d_1 \geq d_2 \geq \dots \geq d_n = \delta$.
- c) D_G es la matriz diagonal de grados.
- d) $\sum_{i=1}^n d_i = 2m$.

$$3 \quad \|A\|_F^2 = \begin{cases} \text{tr}(A^* A) \\ \sum_{i,j=1}^n |a_{ij}|^2 \\ \sum_{i=1}^{\min\{s,t\}} \sigma_i^2(A) \end{cases}$$

$$4 \quad \text{tr}(A) = \sum_{i=1}^n a_{ii} = \sum_{i=1}^n \lambda_i.$$

5 Si A es simétrica,

$$2m = \text{tr}(A^2) = \sum_{i=1}^n d_i = \sum_{i=1}^n \lambda_i^2.$$

³C. Meyer. Matrix analysis and applied linear algebra. Siam, 2000.

⁴R. Balakrishnan and K. Ranganathan. A Textbook of Graphs Theory. Springer, New York, 2012.

⁵D.M. Cvetkovic, M. Doob, and H. Sachs. Spectra of Graphs Theory and Application. Springer, New York, 2012.

Matriz de adyacencia³. Espectro y amplitud⁶

La matriz de adyacencia de G ,

³C. Meyer. Matrix analysis and applied linear algebra. Siam, 2000.

⁶D. Gregory, D. Heshkowitz, and S. Kirkland. The spread of the spectrum of a graph. Linear Algebra Appl, 332-334:23-58, 2001

Matriz de adyacencia³. Espectro y amplitud⁶

La matriz de adyacencia de G , $A_G = (a_{ij})_{n \times n}$,

³C. Meyer. Matrix analysis and applied linear algebra. Siam, 2000.

⁶D. Gregory, D. Heshkowitz, and S. Kirkland. The spread of the spectrum of a graph. Linear Algebra Appl, 332-334:23-58, 2001

Matriz de adyacencia³. Espectro y amplitud⁶

La matriz de adyacencia de G , $A_G = (a_{ij})_{n \times n}$, es dada por

$$a_{ij} = \begin{cases} 1 & \text{si } \{v_i, v_j\} \in E(G) \\ 0 & \text{de lo contrario} \end{cases}$$

³C. Meyer. Matrix analysis and applied linear algebra. Siam, 2000.

⁶D. Gregory, D. Heshkowitz, and S. Kirkland. The spread of the spectrum of a graph. Linear Algebra Appl, 332-334:23-58, 2001

Matriz de adyacencia³. Espectro y amplitud⁶

La matriz de adyacencia de G , $A_G = (a_{ij})_{n \times n}$, es dada por

$$a_{ij} = \begin{cases} 1 & \text{si } \{v_i, v_j\} \in E(G) \\ 0 & \text{si } \{v_i, v_j\} \notin E(G), \end{cases}$$

³C. Meyer. Matrix analysis and applied linear algebra. Siam, 2000.

⁶D. Gregory, D. Heshkowitz, and S. Kirkland. The spread of the spectrum of a graph. Linear Algebra Appl, 332-334:23-58, 2001

Matriz de adyacencia³. Espectro y amplitud⁶

La matriz de adyacencia de G , $A_G = (a_{ij})_{n \times n}$, es dada por

$$a_{ij} = \begin{cases} 1 & \text{si } \{v_i, v_j\} \in E(G) \\ 0 & \text{si } \{v_i, v_j\} \notin E(G), \end{cases}$$

con espectro

³C. Meyer. Matrix analysis and applied linear algebra. Siam, 2000.

⁶D. Gregory, D. Heshkowitz, and S. Kirkland. The spread of the spectrum of a graph. Linear Algebra Appl, 332-334:23-58, 2001

Matriz de adyacencia³. Espectro y amplitud⁶

La matriz de adyacencia de G , $A_G = (a_{ij})_{n \times n}$, es dada por

$$a_{ij} = \begin{cases} 1 & \text{si } \{v_i, v_j\} \in E(G) \\ 0 & \text{si } \{v_i, v_j\} \notin E(G), \end{cases}$$

con espectro

$$\sigma(G) : \lambda_1 \geq \lambda_2 \geq \cdots \geq \lambda_n,$$

³C. Meyer. Matrix analysis and applied linear algebra. Siam, 2000.

⁶D. Gregory, D. Heshkowitz, and S. Kirkland. The spread of the spectrum of a graph. Linear Algebra Appl, 332-334:23-58, 2001

Matriz de adyacencia³. Espectro y amplitud⁶

La matriz de adyacencia de G , $A_G = (a_{ij})_{n \times n}$, es dada por

$$a_{ij} = \begin{cases} 1 & \text{si } \{v_i, v_j\} \in E(G) \\ 0 & \text{si } \{v_i, v_j\} \notin E(G), \end{cases}$$

con espectro

$$\sigma(G) : \lambda_1 \geq \lambda_2 \geq \cdots \geq \lambda_n,$$

y amplitud definida como:

³C. Meyer. Matrix analysis and applied linear algebra. Siam, 2000.

⁶D. Gregory, D. Heshkowitz, and S. Kirkland. The spread of the spectrum of a graph. Linear Algebra Appl, 332-334:23-58, 2001

Matriz de adyacencia³. Espectro y amplitud⁶

La matriz de adyacencia de G , $A_G = (a_{ij})_{n \times n}$, es dada por

$$a_{ij} = \begin{cases} 1 & \text{si } \{v_i, v_j\} \in E(G) \\ 0 & \text{si } \{v_i, v_j\} \notin E(G), \end{cases}$$

con espectro

$$\sigma(G) : \lambda_1 \geq \lambda_2 \geq \cdots \geq \lambda_n,$$

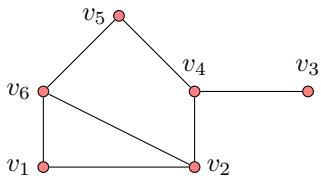
y amplitud definida como:

$$s_A(G) = s(G) = \lambda_1 - \lambda_n.$$

³C. Meyer. Matrix analysis and applied linear algebra. Siam, 2000.

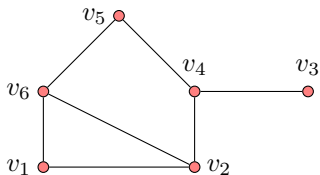
⁶D. Gregory, D. Heshkowitz, and S. Kirkland. The spread of the spectrum of a graph. Linear Algebra Appl, 332-334:23-58, 2001

Ejemplo: Matriz de adyacencia del grafo G



Grafo G

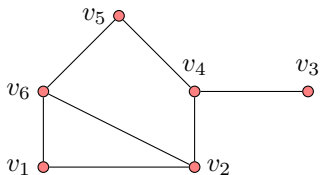
Ejemplo: Matriz de adyacencia del grafo G



Grafo G

$$A_G = A_G^T = \begin{pmatrix} 0 & 1 & 0 & 0 & 0 & 1 \\ 1 & 0 & 0 & 1 & 0 & 1 \\ 0 & 0 & 0 & 1 & 0 & 0 \\ 0 & 1 & 1 & 0 & 1 & 0 \\ 0 & 0 & 0 & 1 & 0 & 1 \\ 1 & 1 & 0 & 0 & 1 & 0 \end{pmatrix}$$

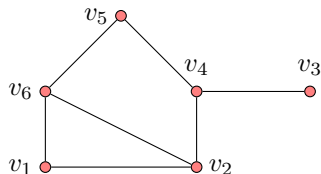
Ejemplo: Matriz de adyacencia del grafo G



Grafo G

$$A_G = A_G^T = \begin{pmatrix} 0 & 1 & 0 & 0 & 0 & 1 \\ 1 & 0 & 0 & 1 & 0 & 1 \\ 0 & 0 & 0 & 1 & 0 & 0 \\ 0 & 1 & 1 & 0 & 1 & 0 \\ 0 & 0 & 0 & 1 & 0 & 1 \\ 1 & 1 & 0 & 0 & 1 & 0 \end{pmatrix} \begin{matrix} \leftarrow v_1 \\ \leftarrow v_2 \\ \leftarrow v_3 \\ \leftarrow v_4 \\ \leftarrow v_5 \\ \leftarrow v_6 \end{matrix}$$

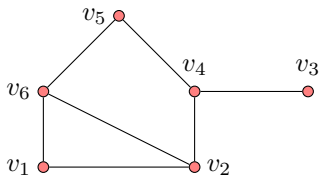
Ejemplo: Matriz de adyacencia del grafo G



Grafo G

$$A_G = A_G^T = \begin{pmatrix} 0 & 1 & 0 & 0 & 0 & 1 \\ 1 & 0 & 0 & 1 & 0 & 1 \\ 0 & 0 & 0 & 1 & 0 & 0 \\ 0 & 1 & 1 & 0 & 1 & 0 \\ 0 & 0 & 0 & 1 & 0 & 1 \\ 1 & 1 & 0 & 0 & 1 & 0 \end{pmatrix} \begin{array}{l} \leftarrow v_1 \\ \leftarrow v_2 \\ \leftarrow v_3 \\ \leftarrow v_4 \\ \leftarrow v_5 \\ \leftarrow v_6 \end{array} \Rightarrow \begin{array}{l} d_1 = 2 \\ d_2 = 3 \\ d_3 = 1 \\ d_4 = 3 \\ d_5 = 2 \\ d_6 = 3 \end{array}$$

Ejemplo: Matriz de adyacencia del grafo G

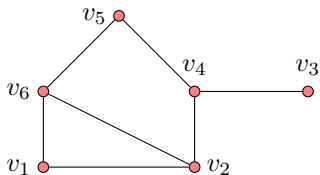


Grafo G

$$A_G = A_G^T = \begin{pmatrix} 0 & 1 & 0 & 0 & 0 & 1 \\ 1 & 0 & 0 & 1 & 0 & 1 \\ 0 & 0 & 0 & 1 & 0 & 0 \\ 0 & 1 & 1 & 0 & 1 & 0 \\ 0 & 0 & 0 & 1 & 0 & 1 \\ 1 & 1 & 0 & 0 & 1 & 0 \end{pmatrix} \begin{array}{l} \leftarrow v_1 \\ \leftarrow v_2 \\ \leftarrow v_3 \\ \leftarrow v_4 \\ \leftarrow v_5 \\ \leftarrow v_6 \end{array} \Rightarrow \begin{array}{l} d_1 = 2 \\ d_2 = 3 \\ d_3 = 1 \\ d_4 = 3 \\ d_5 = 2 \\ d_6 = 3 \end{array}$$

$$+d_{i:6}$$

Ejemplo: Matriz de adyacencia del grafo G

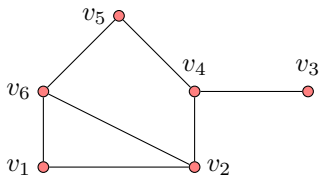


Grafo G

$$A_G = A_G^T = \begin{pmatrix} 0 & 1 & 0 & 0 & 0 & 1 \\ 1 & 0 & 0 & 1 & 0 & 1 \\ 0 & 0 & 0 & 1 & 0 & 0 \\ 0 & 1 & 1 & 0 & 1 & 0 \\ 0 & 0 & 0 & 1 & 0 & 1 \\ 1 & 1 & 0 & 0 & 1 & 0 \end{pmatrix} \begin{array}{l} \leftarrow v_1 \\ \leftarrow v_2 \\ \leftarrow v_3 \\ \leftarrow v_4 \\ \leftarrow v_5 \\ \leftarrow v_6 \end{array} \Rightarrow \begin{array}{l} d_1 = 2 \\ d_2 = 3 \\ d_3 = 1 \\ d_4 = 3 \\ d_5 = 2 \\ d_6 = 3 \end{array}$$

$$+d_{i_{1:6}} = 14$$

Ejemplo: Matriz de adyacencia del grafo G

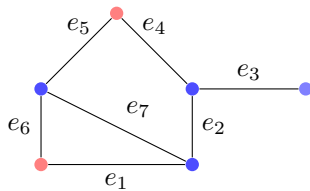


Grafo G

$$A_G = A_G^T = \begin{pmatrix} 0 & 1 & 0 & 0 & 0 & 1 \\ 1 & 0 & 0 & 1 & 0 & 1 \\ 0 & 0 & 0 & 1 & 0 & 0 \\ 0 & 1 & 1 & 0 & 1 & 0 \\ 0 & 0 & 0 & 1 & 0 & 1 \\ 1 & 1 & 0 & 0 & 1 & 0 \end{pmatrix} \begin{array}{l} \leftarrow v_1 \\ \leftarrow v_2 \\ \leftarrow v_3 \\ \leftarrow v_4 \\ \leftarrow v_5 \\ \leftarrow v_6 \end{array} \begin{array}{l} \Rightarrow d_1 = 2 \\ \Rightarrow d_2 = 3 \\ \Rightarrow d_3 = 1 \\ \Rightarrow d_4 = 3 \\ \Rightarrow d_5 = 2 \\ \Rightarrow d_6 = 3 \end{array} \begin{array}{l} \\ \\ \hookrightarrow \delta \text{ "Pendiente"} \\ \\ \\ \hookrightarrow \Delta \\ \hookrightarrow 2m \Rightarrow m = 7 \end{array}$$

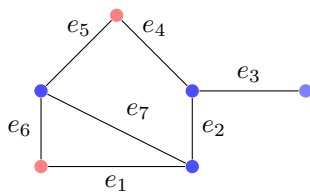
$$\begin{array}{l} \\ \\ \\ \\ \\ \hline +d_{i:6} = 14 \end{array}$$

Ejemplo: Espectro y amplitud del grafo G



Grafo G

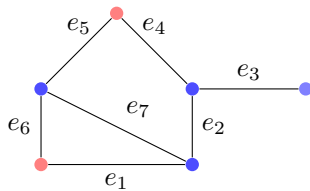
Ejemplo: Espectro y amplitud del grafo G



Grafo G

Espectro

Ejemplo: Espectro y amplitud del grafo G

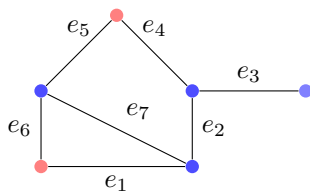


Grafo G

Espectro

$$\sigma(G) = \begin{cases} \lambda_1 = 2,5395, & \lambda_2 = 1,0825, \\ \lambda_3 = 0,2611, & \lambda_4 = -0,5406, \\ \lambda_5 = -1,2061, & \lambda_6 = -2,1364. \end{cases}$$

Ejemplo: Espectro y amplitud del grafo G



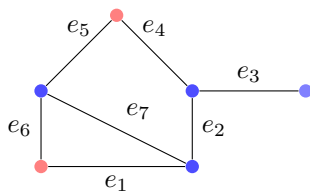
Grafo G

Espectro

$$\sigma(G) = \begin{cases} \lambda_1 = 2,5395, & \lambda_2 = 1,0825, \\ \lambda_3 = 0,2611, & \lambda_4 = -0,5406, \\ \lambda_5 = -1,2061, & \lambda_6 = -2,1364. \end{cases}$$

Amplitud

Ejemplo: Espectro y amplitud del grafo G



Grafo G

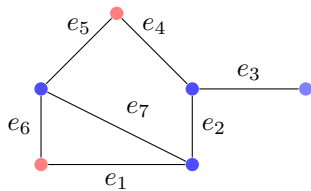
Espectro

$$\sigma(G) = \begin{cases} \lambda_1 = 2,5395, & \lambda_2 = 1,0825, \\ \lambda_3 = 0,2611, & \lambda_4 = -0,5406, \\ \lambda_5 = -1,2061, & \lambda_6 = -2,1364. \end{cases}$$

Amplitud

$$s(G) = \lambda_1 - \lambda_6$$

Ejemplo: Espectro y amplitud del grafo G



Grafo G

Espectro

$$\sigma(G) = \begin{cases} \lambda_1 = 2,5395, & \lambda_2 = 1,0825, \\ \lambda_3 = 0,2611, & \lambda_4 = -0,5406, \\ \lambda_5 = -1,2061, & \lambda_6 = -2,1364. \end{cases}$$

Amplitud

$$s(G) = \lambda_1 - \lambda_6 = \begin{cases} 2,5395 + \\ 2,1364 \\ \overline{4,6759} \end{cases}$$

Matriz Laplaciana⁷. Espectro y amplitud⁸

⁷D. Cvetković, P. Rowlinson, and S. Simić. Signless Laplacians of finite graphs. *Linear Algebra Appl.*, 43:155-171, 2007.

⁸R. Grone and Merris R. The Laplacian spectrum of a graph. *SIAM J. Matrix Anal. Appl.*, 11:218-230, 1990.

Matriz Laplaciana⁷. Espectro y amplitud⁸

La matriz Laplaciana de G ,

⁷D. Cvetković, P. Rowlinson, and S. Simić. Signless Laplacians of finite graphs. *Linear Algebra Appl.*, 43:155-171, 2007.

⁸R. Grone and Merris R. The Laplacian spectrum of a graph. *SIAM J. Matrix Anal. Appl.*, 11:218-230, 1990.

Matriz Laplaciana⁷. Espectro y amplitud⁸

La matriz Laplaciana de G , $L_G = (\ell_{ij})_{n \times n}$,

⁷D. Cvetković, P. Rowlinson, and S. Simić. Signless Laplacians of finite graphs. *Linear Algebra Appl.*, 43:155-171, 2007.

⁸R. Grone and Merris R. The Laplacian spectrum of a graph. *SIAM J. Matrix Anal. Appl.*, 11:218-230, 1990.

Matriz Laplaciana⁷. Espectro y amplitud⁸

La matriz Laplaciana de G , $L_G = (\ell_{ij})_{n \times n}$, es dada por

$$\ell_{ij} = \begin{cases} -1 & \text{si } \{v_i, v_j\} \in E(G) \\ & \end{cases}$$

⁷D. Cvetković, P. Rowlinson, and S. Simić. Signless Laplacians of finite graphs. *Linear Algebra Appl.*, 43:155-171, 2007.

⁸R. Grone and Merris R. The Laplacian spectrum of a graph. *SIAM J. Matrix Anal. Appl.*, 11:218-230, 1990.

Matriz Laplaciana⁷. Espectro y amplitud⁸

La matriz Laplaciana de G , $L_G = (\ell_{ij})_{n \times n}$, es dada por

$$\ell_{ij} = \begin{cases} -1 & \text{si } \{v_i, v_j\} \in E(G) \\ 0 & \text{si } \{v_i, v_j\} \notin E(G) \end{cases}$$

⁷D. Cvetković, P. Rowlinson, and S. Simić. Signless Laplacians of finite graphs. *Linear Algebra Appl.*, 43:155-171, 2007.

⁸R. Grone and Merris R. The Laplacian spectrum of a graph. *SIAM J. Matrix Anal. Appl.*, 11:218-230, 1990.

Matriz Laplaciana⁷. Espectro y amplitud⁸

La matriz Laplaciana de G , $L_G = (\ell_{ij})_{n \times n}$, es dada por

$$\ell_{ij} = \begin{cases} -1 & \text{si } \{v_i, v_j\} \in E(G) \\ 0 & \text{si } \{v_i, v_j\} \notin E(G) \\ d_i & \text{si } i = j, \end{cases}$$

⁷D. Cvetković, P. Rowlinson, and S. Simić. Signless Laplacians of finite graphs. *Linear Algebra Appl.*, 43:155-171, 2007.

⁸R. Grone and Merris R. The Laplacian spectrum of a graph. *SIAM J. Matrix Anal. Appl.*, 11:218-230, 1990.

Matriz Laplaciana⁷. Espectro y amplitud⁸

La matriz Laplaciana de G , $L_G = (\ell_{ij})_{n \times n}$, es dada por

$$\ell_{ij} = \begin{cases} -1 & \text{si } \{v_i, v_j\} \in E(G) \\ 0 & \text{si } \{v_i, v_j\} \notin E(G) \\ d_i & \text{si } i = j, \end{cases}$$

con espectro

⁷D. Cvetković, P. Rowlinson, and S. Simić. Signless Laplacians of finite graphs. *Linear Algebra Appl.*, 43:155-171, 2007.

⁸R. Grone and Merris R. The Laplacian spectrum of a graph. *SIAM J. Matrix Anal. Appl.*, 11:218-230, 1990.

Matriz Laplaciana⁷. Espectro y amplitud⁸

La matriz Laplaciana de G , $L_G = (\ell_{ij})_{n \times n}$, es dada por

$$\ell_{ij} = \begin{cases} -1 & \text{si } \{v_i, v_j\} \in E(G) \\ 0 & \text{si } \{v_i, v_j\} \notin E(G) \\ d_i & \text{si } i = j, \end{cases}$$

con espectro

$$\sigma(L_G) : \mu_1 \geq \mu_2 \geq \dots \geq \mu_n = 0,$$

⁷D. Cvetković, P. Rowlinson, and S. Simić. Signless Laplacians of finite graphs. *Linear Algebra Appl.*, 43:155-171, 2007.

⁸R. Grone and Merris R. The Laplacian spectrum of a graph. *SIAM J. Matrix Anal. Appl.*, 11:218-230, 1990.

Matriz Laplaciana⁷. Espectro y amplitud⁸

La matriz Laplaciana de G , $L_G = (\ell_{ij})_{n \times n}$, es dada por

$$\ell_{ij} = \begin{cases} -1 & \text{si } \{v_i, v_j\} \in E(G) \\ 0 & \text{si } \{v_i, v_j\} \notin E(G) \\ d_i & \text{si } i = j, \end{cases}$$

con espectro

$$\sigma(L_G) : \mu_1 \geq \mu_2 \geq \dots \geq \mu_n = 0,$$

y posibles amplitudes

⁷D. Cvetković, P. Rowlinson, and S. Simić. Signless Laplacians of finite graphs. *Linear Algebra Appl.*, 43:155-171, 2007.

⁸R. Grone and Merris R. The Laplacian spectrum of a graph. *SIAM J. Matrix Anal. Appl.*, 11:218-230, 1990.

Matriz Laplaciana⁷. Espectro y amplitud⁸

La matriz Laplaciana de G , $L_G = (\ell_{ij})_{n \times n}$, es dada por

$$\ell_{ij} = \begin{cases} -1 & \text{si } \{v_i, v_j\} \in E(G) \\ 0 & \text{si } \{v_i, v_j\} \notin E(G) \\ d_i & \text{si } i = j, \end{cases}$$

con espectro

$$\sigma(L_G) : \mu_1 \geq \mu_2 \geq \dots \geq \mu_n = 0,$$

y posibles amplitudes

$$s(L_G) = \mu_1$$

⁷D. Cvetković, P. Rowlinson, and S. Simić. Signless Laplacians of finite graphs. *Linear Algebra Appl.*, 43:155-171, 2007.

⁸R. Grone and Merris R. The Laplacian spectrum of a graph. *SIAM J. Matrix Anal. Appl.*, 11:218-230, 1990.

Matriz Laplaciana⁷. Espectro y amplitud⁸

La matriz Laplaciana de G , $L_G = (\ell_{ij})_{n \times n}$, es dada por

$$\ell_{ij} = \begin{cases} -1 & \text{si } \{v_i, v_j\} \in E(G) \\ 0 & \text{si } \{v_i, v_j\} \notin E(G) \\ d_i & \text{si } i = j, \end{cases}$$

con espectro

$$\sigma(L_G) : \mu_1 \geq \mu_2 \geq \dots \geq \mu_n = 0,$$

y posibles amplitudes

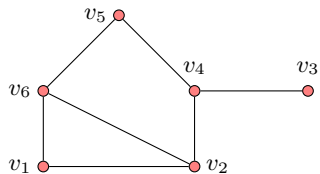
$$s(L_G) = \mu_1 \quad \text{y} \quad s_L(G) = \mu_1 - \mu_{n-1}.$$

⁷D. Cvetković, P. Rowlinson, and S. Simić. Signless Laplacians of finite graphs. Linear Algebra Appl, 43:155-171, 2007.

⁸R. Grone and Merris R. The Laplacian spectrum of a graph. SIAM J. Matrix Anal. Appl., 11:218-230, 1990.

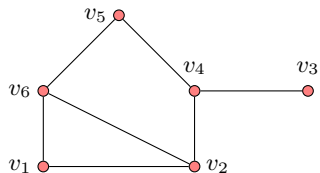
Ejemplo: Matriz Laplaciana del grafo G

Ejemplo: Matriz Laplaciana del grafo G



Grafo G

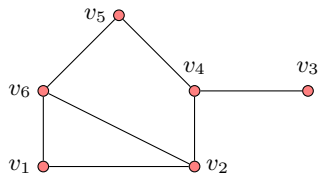
Ejemplo: Matriz Laplaciana del grafo G



Grafo G

$$\underbrace{\begin{pmatrix} 2 & -1 & 0 & 0 & 0 & -1 \\ -1 & 3 & 0 & -1 & 0 & -1 \\ 0 & 0 & 1 & -1 & 0 & 0 \\ 0 & -1 & -1 & 3 & -1 & 0 \\ 0 & 0 & 0 & -1 & 2 & -1 \\ -1 & -1 & 0 & 0 & -1 & 3 \end{pmatrix}}_{L_G}$$

Ejemplo: Matriz Laplaciana del grafo G

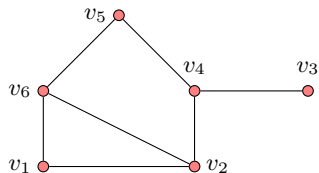


Grafo G

$$\underbrace{\begin{pmatrix} 2 & -1 & 0 & 0 & 0 & -1 \\ -1 & 3 & 0 & -1 & 0 & -1 \\ 0 & 0 & 1 & -1 & 0 & 0 \\ 0 & -1 & -1 & 3 & -1 & 0 \\ 0 & 0 & 0 & -1 & 2 & -1 \\ -1 & -1 & 0 & 0 & -1 & 3 \end{pmatrix}}_{L_G}$$

$$L_G =$$

Ejemplo: Matriz Laplaciana del grafo G

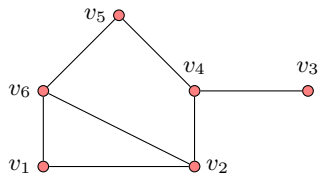


Grafo G

$$\underbrace{\begin{pmatrix} 2 & -1 & 0 & 0 & 0 & -1 \\ -1 & 3 & 0 & -1 & 0 & -1 \\ 0 & 0 & 1 & -1 & 0 & 0 \\ 0 & -1 & -1 & 3 & -1 & 0 \\ 0 & 0 & 0 & -1 & 2 & -1 \\ -1 & -1 & 0 & 0 & -1 & 3 \end{pmatrix}}_{L_G}$$

$$L_G = \overbrace{\begin{pmatrix} 2 & 0 & 0 & 0 & 0 & 0 \\ 0 & 3 & 0 & 0 & 0 & 0 \\ 0 & 0 & 1 & 0 & 0 & 0 \\ 0 & 0 & 0 & 3 & 0 & 0 \\ 0 & 0 & 0 & 0 & 2 & 0 \\ 0 & 0 & 0 & 0 & 0 & 3 \end{pmatrix}}^{D_G}$$

Ejemplo: Matriz Laplaciana del grafo G

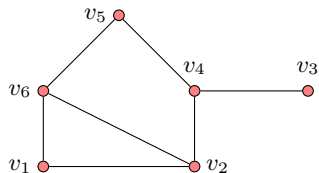


Grafo G

$$\underbrace{\begin{pmatrix} 2 & -1 & 0 & 0 & 0 & -1 \\ -1 & 3 & 0 & -1 & 0 & -1 \\ 0 & 0 & 1 & -1 & 0 & 0 \\ 0 & -1 & -1 & 3 & -1 & 0 \\ 0 & 0 & 0 & -1 & 2 & -1 \\ -1 & -1 & 0 & 0 & -1 & 3 \end{pmatrix}}_{L_G}$$

$$L_G = \overbrace{\begin{pmatrix} 2 & 0 & 0 & 0 & 0 & 0 \\ 0 & 3 & 0 & 0 & 0 & 0 \\ 0 & 0 & 1 & 0 & 0 & 0 \\ 0 & 0 & 0 & 3 & 0 & 0 \\ 0 & 0 & 0 & 0 & 2 & 0 \\ 0 & 0 & 0 & 0 & 0 & 3 \end{pmatrix}}^{D_G} -$$

Ejemplo: Matriz Laplaciana del grafo G

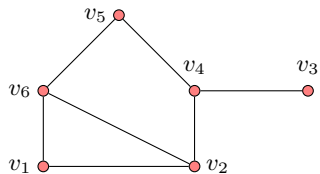


Grafo G

$$\underbrace{\begin{pmatrix} 2 & -1 & 0 & 0 & 0 & -1 \\ -1 & 3 & 0 & -1 & 0 & -1 \\ 0 & 0 & 1 & -1 & 0 & 0 \\ 0 & -1 & -1 & 3 & -1 & 0 \\ 0 & 0 & 0 & -1 & 2 & -1 \\ -1 & -1 & 0 & 0 & -1 & 3 \end{pmatrix}}_{L_G}$$

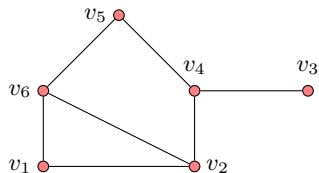
$$L_G = \overbrace{\begin{pmatrix} 2 & 0 & 0 & 0 & 0 & 0 \\ 0 & 3 & 0 & 0 & 0 & 0 \\ 0 & 0 & 1 & 0 & 0 & 0 \\ 0 & 0 & 0 & 3 & 0 & 0 \\ 0 & 0 & 0 & 0 & 2 & 0 \\ 0 & 0 & 0 & 0 & 0 & 3 \end{pmatrix}}^{D_G} - \overbrace{\begin{pmatrix} 0 & 1 & 0 & 0 & 0 & 1 \\ 1 & 0 & 0 & 1 & 0 & 1 \\ 0 & 0 & 0 & 1 & 0 & 0 \\ 0 & 1 & 1 & 0 & 1 & 0 \\ 0 & 0 & 0 & 1 & 0 & 1 \\ 1 & 1 & 0 & 0 & 1 & 0 \end{pmatrix}}^{A_G}$$

Ejemplo: Espectro y amplitud del grafo G



Grafo G

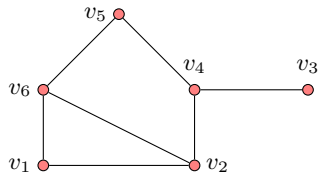
Ejemplo: Espectro y amplitud del grafo G



Grafo G

$$\underbrace{\begin{pmatrix} 2 & -1 & 0 & 0 & 0 & -1 \\ -1 & 3 & 0 & -1 & 0 & -1 \\ 0 & 0 & 1 & -1 & 0 & 0 \\ 0 & -1 & -1 & 3 & -1 & 0 \\ 0 & 0 & 0 & -1 & 2 & -1 \\ -1 & -1 & 0 & 0 & -1 & 3 \end{pmatrix}}_{L_G}$$

Ejemplo: Espectro y amplitud del grafo G

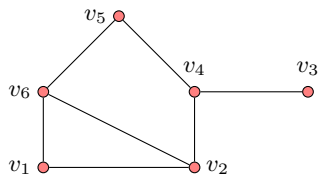


Grafo G

$$\underbrace{\begin{pmatrix} 2 & -1 & 0 & 0 & 0 & -1 \\ -1 & 3 & 0 & -1 & 0 & -1 \\ 0 & 0 & 1 & -1 & 0 & 0 \\ 0 & -1 & -1 & 3 & -1 & 0 \\ 0 & 0 & 0 & -1 & 2 & -1 \\ -1 & -1 & 0 & 0 & -1 & 3 \end{pmatrix}}_{L_G}$$

Espectro

Ejemplo: Espectro y amplitud del grafo G



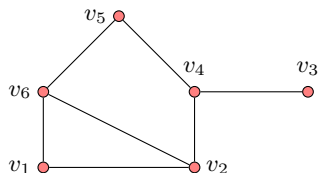
Grafo G

$$\underbrace{\begin{pmatrix} 2 & -1 & 0 & 0 & 0 & -1 \\ -1 & 3 & 0 & -1 & 0 & -1 \\ 0 & 0 & 1 & -1 & 0 & 0 \\ 0 & -1 & -1 & 3 & -1 & 0 \\ 0 & 0 & 0 & -1 & 2 & -1 \\ -1 & -1 & 0 & 0 & -1 & 3 \end{pmatrix}}_{L_G}$$

Espectro

$$\sigma(L_G) = \begin{cases} \mu_1 = 4,8912, & \mu_2 = 3,7046, \\ \mu_3 = 3,0000, & \mu_4 = 1,6826, \\ \mu_5 = 0,7216, & \mu_6 = 0 \end{cases}$$

Ejemplo: Espectro y amplitud del grafo G



Grafo G

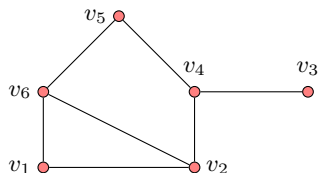
$$\underbrace{\begin{pmatrix} 2 & -1 & 0 & 0 & 0 & -1 \\ -1 & 3 & 0 & -1 & 0 & -1 \\ 0 & 0 & 1 & -1 & 0 & 0 \\ 0 & -1 & -1 & 3 & -1 & 0 \\ 0 & 0 & 0 & -1 & 2 & -1 \\ -1 & -1 & 0 & 0 & -1 & 3 \end{pmatrix}}_{L_G}$$

Espectro

$$\sigma(L_G) = \begin{cases} \mu_1 = 4,8912, & \mu_2 = 3,7046, \\ \mu_3 = 3,0000, & \mu_4 = 1,6826, \\ \mu_5 = 0,7216, & \mu_6 = 0 \end{cases}$$

Amplitud

Ejemplo: Espectro y amplitud del grafo G



Grafo G

$$\underbrace{\begin{pmatrix} 2 & -1 & 0 & 0 & 0 & -1 \\ -1 & 3 & 0 & -1 & 0 & -1 \\ 0 & 0 & 1 & -1 & 0 & 0 \\ 0 & -1 & -1 & 3 & -1 & 0 \\ 0 & 0 & 0 & -1 & 2 & -1 \\ -1 & -1 & 0 & 0 & -1 & 3 \end{pmatrix}}_{L_G}$$

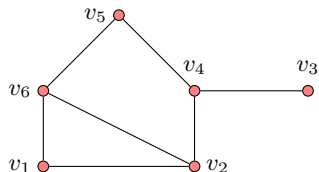
Espectro

$$\sigma(L_G) = \begin{cases} \mu_1 = 4,8912, & \mu_2 = 3,7046, \\ \mu_3 = 3,0000, & \mu_4 = 1,6826, \\ \mu_5 = 0,7216, & \mu_6 = 0 \end{cases}$$

Amplitud

$$s_L(G) = \mu_1 - \mu_5$$

Ejemplo: Espectro y amplitud del grafo G



Grafo G

$$\underbrace{\begin{pmatrix} 2 & -1 & 0 & 0 & 0 & -1 \\ -1 & 3 & 0 & -1 & 0 & -1 \\ 0 & 0 & 1 & -1 & 0 & 0 \\ 0 & -1 & -1 & 3 & -1 & 0 \\ 0 & 0 & 0 & -1 & 2 & -1 \\ -1 & -1 & 0 & 0 & -1 & 3 \end{pmatrix}}_{L_G}$$

Espectro


$$\sigma(L_G) = \begin{cases} \mu_1 = 4,8912, & \mu_2 = 3,7046, \\ \mu_3 = 3,0000, & \mu_4 = 1,6826, \\ \mu_5 = 0,7216, & \mu_6 = 0 \end{cases}$$

Amplitud

$$s_L(G) = \mu_1 - \mu_5 = \begin{cases} 4,8912 - \\ 0,7216 \\ \underline{4,1696} \end{cases}$$

Matriz Laplaciana sin signo⁹. Espectro y amplitud¹⁰


⁹D. Cvetković, P. Rowlinson, and S. Simić. Signless Laplacians of finite graphs. *Linear Algebra Appl*, 43:155-171, 2007.

¹⁰M. Liu and B. Liu. The signless Laplacian spread. *Linear Algebra Appl*, 432:505-514, 2010. 

Matriz Laplaciana sin signo⁹. Espectro y amplitud¹⁰

La matriz Laplaciana sin signo de G ,


⁹D. Cvetković, P. Rowlinson, and S. Simić. Signless Laplacians of finite graphs. *Linear Algebra Appl*, 43:155-171, 2007.

¹⁰M. Liu and B. Liu. The signless Laplacian spread. *Linear Algebra Appl*, 432:505-514, 2010. 

Matriz Laplaciana sin signo⁹. Espectro y amplitud¹⁰

La matriz Laplaciana sin signo de G , $Q_G = (q_{ij})_{n \times n}$,

⁹D. Cvetković, P. Rowlinson, and S. Simić. Signless Laplacians of finite graphs. *Linear Algebra Appl.*, 43:155-171, 2007.


¹⁰M. Liu and B. Liu. The signless Laplacian spread. *Linear Algebra Appl.*, 432:505-514, 2010. 

Matriz Laplaciana sin signo⁹. Espectro y amplitud¹⁰

La matriz Laplaciana sin signo de G , $Q_G = (q_{ij})_{n \times n}$, es dada por

$$q_{ij} = \begin{cases} 1 & \text{si } \{v_i, v_j\} \in E(G) \\ 0 & \text{si } \{v_i, v_j\} \notin E(G) \end{cases}$$

⁹D. Cvetković, P. Rowlinson, and S. Simić. Signless Laplacians of finite graphs. *Linear Algebra Appl.*, 43:155-171, 2007.


¹⁰M. Liu and B. Liu. The signless Laplacian spread. *Linear Algebra Appl.*, 432:505-514, 2010. 

Matriz Laplaciana sin signo⁹. Espectro y amplitud¹⁰

La matriz Laplaciana sin signo de G , $Q_G = (q_{ij})_{n \times n}$, es dada por

$$q_{ij} = \begin{cases} 1 & \text{si } \{v_i, v_j\} \in E(G) \\ 0 & \text{si } \{v_i, v_j\} \notin E(G) \end{cases}$$

⁹D. Cvetković, P. Rowlinson, and S. Simić. Signless Laplacians of finite graphs. *Linear Algebra Appl.*, 43:155-171, 2007.


¹⁰M. Liu and B. Liu. The signless Laplacian spread. *Linear Algebra Appl.*, 432:505-514, 2010. 

Matriz Laplaciana sin signo⁹. Espectro y amplitud¹⁰

La matriz Laplaciana sin signo de G , $Q_G = (q_{ij})_{n \times n}$, es dada por

$$q_{ij} = \begin{cases} 1 & \text{si } \{v_i, v_j\} \in E(G) \\ 0 & \text{si } \{v_i, v_j\} \notin E(G) \\ d_i & \text{si } i = j, \end{cases}$$

⁹D. Cvetković, P. Rowlinson, and S. Simić. Signless Laplacians of finite graphs. *Linear Algebra Appl.*, 43:155-171, 2007.

¹⁰M. Liu and B. Liu. The signless Laplacian spread. *Linear Algebra Appl.*, 432:505-514, 2010. 


Matriz Laplaciana sin signo⁹. Espectro y amplitud¹⁰

La matriz Laplaciana sin signo de G , $Q_G = (q_{ij})_{n \times n}$, es dada por

$$q_{ij} = \begin{cases} 1 & \text{si } \{v_i, v_j\} \in E(G) \\ 0 & \text{si } \{v_i, v_j\} \notin E(G) \\ d_i & \text{si } i = j, \end{cases}$$

con espectro

⁹D. Cvetković, P. Rowlinson, and S. Simić. Signless Laplacians of finite graphs. *Linear Algebra Appl.*, 43:155-171, 2007.

¹⁰M. Liu and B. Liu. The signless Laplacian spread. *Linear Algebra Appl.*, 432:505-514, 2010. 

Matriz Laplaciana sin signo⁹. Espectro y amplitud¹⁰


La matriz Laplaciana sin signo de G , $Q_G = (q_{ij})_{n \times n}$, es dada por

$$q_{ij} = \begin{cases} 1 & \text{si } \{v_i, v_j\} \in E(G) \\ 0 & \text{si } \{v_i, v_j\} \notin E(G) \\ d_i & \text{si } i = j, \end{cases}$$

con espectro

$$\sigma(Q_G) : q_1 \geq q_2 \geq \cdots \geq q_n,$$

⁹D. Cvetković, P. Rowlinson, and S. Simić. Signless Laplacians of finite graphs. *Linear Algebra Appl.*, 43:155-171, 2007.

¹⁰M. Liu and B. Liu. The signless Laplacian spread. *Linear Algebra Appl.*, 432:505-514, 2010. 

Matriz Laplaciana sin signo⁹. Espectro y amplitud¹⁰

La matriz Laplaciana sin signo de G , $Q_G = (q_{ij})_{n \times n}$, es dada por


$$q_{ij} = \begin{cases} 1 & \text{si } \{v_i, v_j\} \in E(G) \\ 0 & \text{si } \{v_i, v_j\} \notin E(G) \\ d_i & \text{si } i = j, \end{cases}$$

con espectro

$$\sigma(Q_G) : q_1 \geq q_2 \geq \cdots \geq q_n,$$

y amplitud definida como:

⁹D. Cvetković, P. Rowlinson, and S. Simić. Signless Laplacians of finite graphs. *Linear Algebra Appl.*, 43:155-171, 2007.

¹⁰M. Liu and B. Liu. The signless Laplacian spread. *Linear Algebra Appl.*, 432:505-514, 2010. 

Matriz Laplaciana sin signo⁹. Espectro y amplitud¹⁰

La matriz Laplaciana sin signo de G , $Q_G = (q_{ij})_{n \times n}$, es dada por

$$q_{ij} = \begin{cases} 1 & \text{si } \{v_i, v_j\} \in E(G) \\ 0 & \text{si } \{v_i, v_j\} \notin E(G) \\ d_i & \text{si } i = j, \end{cases}$$


con espectro

$$\sigma(Q_G) : q_1 \geq q_2 \geq \cdots \geq q_n,$$

y amplitud definida como:

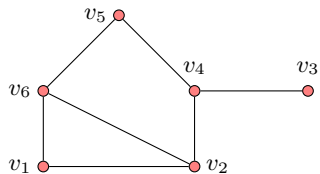
$$s(Q_G) = s_Q(G) = q_1 - q_n.$$

⁹D. Cvetković, P. Rowlinson, and S. Simić. Signless Laplacians of finite graphs. *Linear Algebra Appl.*, 43:155-171, 2007.

¹⁰M. Liu and B. Liu. The signless Laplacian spread. *Linear Algebra Appl.*, 432:505-514, 2010. 

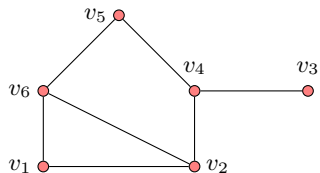
Ejemplo: Matriz Laplaciana sin signo del grafo G

Ejemplo: Matriz Laplaciana sin signo del grafo G



Grafo G

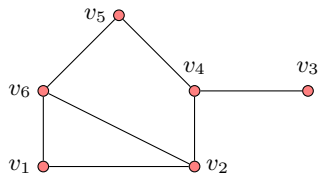
Ejemplo: Matriz Laplaciana sin signo del grafo G



Grafo G

$$\underbrace{\begin{pmatrix} 2 & 1 & 0 & 0 & 0 & 1 \\ 1 & 3 & 0 & 1 & 0 & 1 \\ 0 & 0 & 1 & 1 & 0 & 0 \\ 0 & 1 & 1 & 3 & 1 & 0 \\ 0 & 0 & 0 & 1 & 2 & 1 \\ 1 & 1 & 0 & 0 & 1 & 3 \end{pmatrix}}_{Q_G}$$

Ejemplo: Matriz Laplaciana sin signo del grafo G

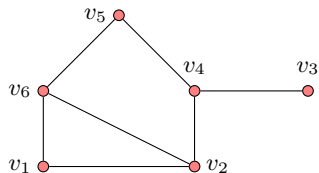


Grafo G

$$\underbrace{\begin{pmatrix} 2 & 1 & 0 & 0 & 0 & 1 \\ 1 & 3 & 0 & 1 & 0 & 1 \\ 0 & 0 & 1 & 1 & 0 & 0 \\ 0 & 1 & 1 & 3 & 1 & 0 \\ 0 & 0 & 0 & 1 & 2 & 1 \\ 1 & 1 & 0 & 0 & 1 & 3 \end{pmatrix}}_{Q_G}$$

$$Q_G =$$

Ejemplo: Matriz Laplaciana sin signo del grafo G

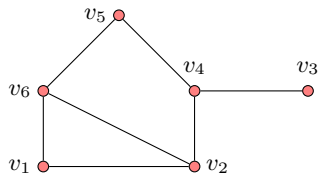


Grafo G

$$\underbrace{\begin{pmatrix} 2 & 1 & 0 & 0 & 0 & 1 \\ 1 & 3 & 0 & 1 & 0 & 1 \\ 0 & 0 & 1 & 1 & 0 & 0 \\ 0 & 1 & 1 & 3 & 1 & 0 \\ 0 & 0 & 0 & 1 & 2 & 1 \\ 1 & 1 & 0 & 0 & 1 & 3 \end{pmatrix}}_{Q_G}$$

$$Q_G = \overbrace{\begin{pmatrix} 2 & 0 & 0 & 0 & 0 & 0 \\ 0 & 3 & 0 & 0 & 0 & 0 \\ 0 & 0 & 1 & 0 & 0 & 0 \\ 0 & 0 & 0 & 3 & 0 & 0 \\ 0 & 0 & 0 & 0 & 2 & 0 \\ 0 & 0 & 0 & 0 & 0 & 3 \end{pmatrix}}^{D_G}$$

Ejemplo: Matriz Laplaciana sin signo del grafo G

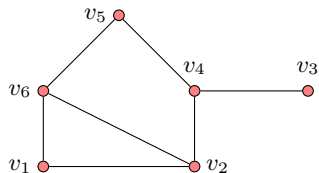


Grafo G

$$\underbrace{\begin{pmatrix} 2 & 1 & 0 & 0 & 0 & 1 \\ 1 & 3 & 0 & 1 & 0 & 1 \\ 0 & 0 & 1 & 1 & 0 & 0 \\ 0 & 1 & 1 & 3 & 1 & 0 \\ 0 & 0 & 0 & 1 & 2 & 1 \\ 1 & 1 & 0 & 0 & 1 & 3 \end{pmatrix}}_{Q_G}$$

$$Q_G = \underbrace{\begin{pmatrix} 2 & 0 & 0 & 0 & 0 & 0 \\ 0 & 3 & 0 & 0 & 0 & 0 \\ 0 & 0 & 1 & 0 & 0 & 0 \\ 0 & 0 & 0 & 3 & 0 & 0 \\ 0 & 0 & 0 & 0 & 2 & 0 \\ 0 & 0 & 0 & 0 & 0 & 3 \end{pmatrix}}_{D_G} +$$

Ejemplo: Matriz Laplaciana sin signo del grafo G

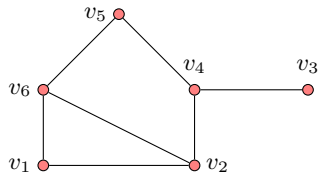


Grafo G

$$\underbrace{\begin{pmatrix} 2 & 1 & 0 & 0 & 0 & 1 \\ 1 & 3 & 0 & 1 & 0 & 1 \\ 0 & 0 & 1 & 1 & 0 & 0 \\ 0 & 1 & 1 & 3 & 1 & 0 \\ 0 & 0 & 0 & 1 & 2 & 1 \\ 1 & 1 & 0 & 0 & 1 & 3 \end{pmatrix}}_{Q_G}$$

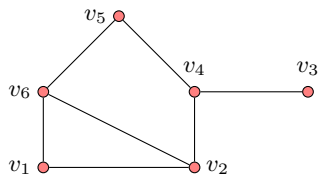
$$Q_G = \underbrace{\begin{pmatrix} 2 & 0 & 0 & 0 & 0 & 0 \\ 0 & 3 & 0 & 0 & 0 & 0 \\ 0 & 0 & 1 & 0 & 0 & 0 \\ 0 & 0 & 0 & 3 & 0 & 0 \\ 0 & 0 & 0 & 0 & 2 & 0 \\ 0 & 0 & 0 & 0 & 0 & 3 \end{pmatrix}}_{D_G} + \underbrace{\begin{pmatrix} 0 & 1 & 0 & 0 & 0 & 1 \\ 1 & 0 & 0 & 1 & 0 & 1 \\ 0 & 0 & 0 & 1 & 0 & 0 \\ 0 & 1 & 1 & 0 & 1 & 0 \\ 0 & 0 & 0 & 1 & 0 & 1 \\ 1 & 1 & 0 & 0 & 1 & 0 \end{pmatrix}}_{A_G}$$

Ejemplo: Espectro y amplitud del grafo G



Grafo G

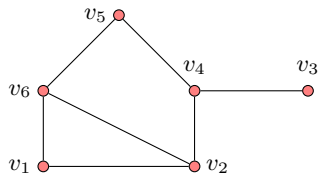
Ejemplo: Espectro y amplitud del grafo G



Grafo G

$$\underbrace{\begin{pmatrix} 2 & 1 & 0 & 0 & 0 & 1 \\ 1 & 3 & 0 & 1 & 0 & 1 \\ 0 & 0 & 1 & 1 & 0 & 0 \\ 0 & 1 & 1 & 3 & 1 & 0 \\ 0 & 0 & 0 & 1 & 2 & 1 \\ 1 & 1 & 0 & 0 & 1 & 3 \end{pmatrix}}_{Q_G}$$

Ejemplo: Espectro y amplitud del grafo G

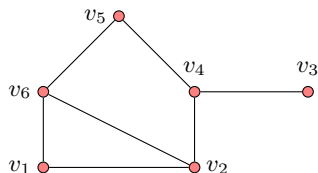


Grafo G

$$\underbrace{\begin{pmatrix} 2 & 1 & 0 & 0 & 0 & 1 \\ 1 & 3 & 0 & 1 & 0 & 1 \\ 0 & 0 & 1 & 1 & 0 & 0 \\ 0 & 1 & 1 & 3 & 1 & 0 \\ 0 & 0 & 0 & 1 & 2 & 1 \\ 1 & 1 & 0 & 0 & 1 & 3 \end{pmatrix}}_{Q_G}$$

Espectro

Ejemplo: Espectro y amplitud del grafo G



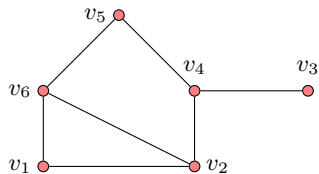
Grafo G

$$\underbrace{\begin{pmatrix} 2 & 1 & 0 & 0 & 0 & 1 \\ 1 & 3 & 0 & 1 & 0 & 1 \\ 0 & 0 & 1 & 1 & 0 & 0 \\ 0 & 1 & 1 & 3 & 1 & 0 \\ 0 & 0 & 0 & 1 & 2 & 1 \\ 1 & 1 & 0 & 0 & 1 & 3 \end{pmatrix}}_{Q_G}$$

Espectro

$$\sigma(Q_G) = \begin{cases} q_1 = 5,2647, & q_2 = 3,5378, \\ q_3 = 2,6491, & q_4 = 1,2987, \\ q_5 = 1,0000, & q_6 = 0,2497. \end{cases}$$

Ejemplo: Espectro y amplitud del grafo G



Grafo G

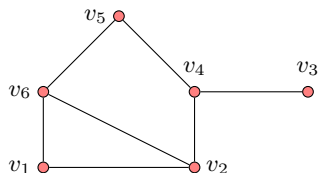
$$\underbrace{\begin{pmatrix} 2 & 1 & 0 & 0 & 0 & 1 \\ 1 & 3 & 0 & 1 & 0 & 1 \\ 0 & 0 & 1 & 1 & 0 & 0 \\ 0 & 1 & 1 & 3 & 1 & 0 \\ 0 & 0 & 0 & 1 & 2 & 1 \\ 1 & 1 & 0 & 0 & 1 & 3 \end{pmatrix}}_{Q_G}$$

Espectro

$$\sigma(Q_G) = \begin{cases} q_1 = 5,2647, & q_2 = 3,5378, \\ q_3 = 2,6491, & q_4 = 1,2987, \\ q_5 = 1,0000, & q_6 = 0,2497. \end{cases}$$

Amplitud

Ejemplo: Espectro y amplitud del grafo G



Grafo G

$$\underbrace{\begin{pmatrix} 2 & 1 & 0 & 0 & 0 & 1 \\ 1 & 3 & 0 & 1 & 0 & 1 \\ 0 & 0 & 1 & 1 & 0 & 0 \\ 0 & 1 & 1 & 3 & 1 & 0 \\ 0 & 0 & 0 & 1 & 2 & 1 \\ 1 & 1 & 0 & 0 & 1 & 3 \end{pmatrix}}_{Q_G}$$

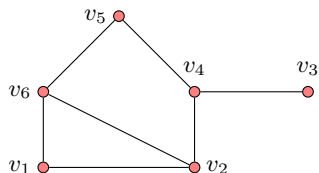
Espectro

$$\sigma(Q_G) = \begin{cases} q_1 = 5,2647, & q_2 = 3,5378, \\ q_3 = 2,6491, & q_4 = 1,2987, \\ q_5 = 1,0000, & q_6 = 0,2497. \end{cases}$$

Amplitud

$$s_Q(G) = q_1 - q_6$$

Ejemplo: Espectro y amplitud del grafo G



Grafo G

$$\underbrace{\begin{pmatrix} 2 & 1 & 0 & 0 & 0 & 1 \\ 1 & 3 & 0 & 1 & 0 & 1 \\ 0 & 0 & 1 & 1 & 0 & 0 \\ 0 & 1 & 1 & 3 & 1 & 0 \\ 0 & 0 & 0 & 1 & 2 & 1 \\ 1 & 1 & 0 & 0 & 1 & 3 \end{pmatrix}}_{Q_G}$$

Espectro

$$\sigma(Q_G) = \begin{cases} q_1 = 5,2647, & q_2 = 3,5378, \\ q_3 = 2,6491, & q_4 = 1,2987, \\ q_5 = 1,0000, & q_6 = 0,2497. \end{cases}$$


Amplitud

$$s_Q(G) = q_1 - q_6 = \begin{cases} 5,2647 - \\ 0,2497 \\ \overline{5,0150} \end{cases}$$

AGENDA


- 1 Preliminares
 - Notaciones
 - Definiciones
 - Propiedades
 - Matrices asociadas a un grafo G
 - ✓ A_G ✓ L_G ✓ Q_G
 - ✓ Espectro ✓ Amplitud
- 2 Distintas cotas para las amplitudes del espectro de matrices asociadas a un grafo
- 3 Cotas superiores
 - ✓ Para $s(A)$ de Mirsky
 - ✓ Para $s_L(G)$ de Chen & Das
 - ✓ Para $s_Q(G)$ (Establecida)
- 3 Cotas inferiores
 - ✓ Para $s(A)$ de Barnes & Hoffman
 - ✓ Para $s(A)$ de Jiang & Zhan
 - ✓ Para $s_Q(G)$ (Establecida)
- 3 Comparación
- 4 Conclusiones

Cota superior para $s(A)$ dada por Mirsky¹¹

¹¹L. Mirsky. The spread of a matrix. *Mathematika*, 3:127-130, 1956. 

Cota superior para $s(A)$ dada por Mirsky¹¹

Teorema 1:

¹¹L. Mirsky. The spread of a matrix. *Mathematika*, 3:127-130, 1956. 

Cota superior para $s(A)$ dada por Mirsky¹¹

Teorema 1:

Sea $A = (a_{ij})_{n \times n}$ cualquier matriz. Entonces,

¹¹L. Mirsky. The spread of a matrix. *Mathematika*, 3:127-130, 1956.

Cota superior para $s(A)$ dada por Mirsky¹¹

Teorema 1:

Sea $A = (a_{ij})_{n \times n}$ cualquier matriz. Entonces,

$$s(A) \leq \sqrt{2 \|A\|_F^2 - \frac{2}{n} |\operatorname{tr} A|^2},$$

¹¹L. Mirsky. The spread of a matrix. *Mathematika*, 3:127-130, 1956.


Cota superior para $s(A)$ dada por Mirsky¹¹

Teorema 1:

Sea $A = (a_{ij})_{n \times n}$ cualquier matriz. Entonces,

$$s(A) \leq \sqrt{2 \|A\|_F^2 - \frac{2}{n} |\operatorname{tr} A|^2}, \quad (1)$$

y se cumple la igualdad si y solo si A es normal ($AA^* = A^*A$)

¹¹L. Mirsky. The spread of a matrix. *Mathematika*, 3:127-130, 1956. 


Cota superior para $s(A)$ dada por Mirsky¹¹

Teorema 1:

Sea $A = (a_{ij})_{n \times n}$ cualquier matriz. Entonces,

$$s(A) \leq \sqrt{2 \|A\|_F^2 - \frac{2}{n} |\operatorname{tr} A|^2}, \quad (1)$$

y se cumple la igualdad si y solo si A es normal ($AA^* = A^*A$) y los autovalores $\lambda_1, \dots, \lambda_n$ cumplen la siguiente condición,

¹¹L. Mirsky. The spread of a matrix. *Mathematika*, 3:127-130, 1956. 


Cota superior para $s(A)$ dada por Mirsky¹¹

Teorema 1:

Sea $A = (a_{ij})_{n \times n}$ cualquier matriz. Entonces,

$$s(A) \leq \sqrt{2 \|A\|_F^2 - \frac{2}{n} |\operatorname{tr} A|^2}, \quad (1)$$

y se cumple la igualdad si y solo si A es normal ($AA^* = A^*A$) y los autovalores $\lambda_1, \dots, \lambda_n$ cumplen la siguiente condición, dado n autovalores son tales que $n - 2$ entre ellos son iguales a la media aritmética de los otros dos.

¹¹L. Mirsky. The spread of a matrix. *Mathematika*, 3:127-130, 1956. 

Cota superior para $s(A)$ dada por Mirsky¹¹


Teorema 1:

Sea $A = (a_{ij})_{n \times n}$ cualquier matriz. Entonces,

$$s(A) \leq \sqrt{2 \|A\|_F^2 - \frac{2}{n} |\operatorname{tr} A|^2}, \quad (1)$$

y se cumple la igualdad si y solo si A es normal ($AA^* = A^*A$) y los autovalores $\lambda_1, \dots, \lambda_n$ cumplen la siguiente condición, dado n autovalores son tales que $n - 2$ entre ellos son iguales a la media aritmética de los otros dos. Así, diremos que los n autovalores satisfacen la condición \mathfrak{C} la cual será denotada como

$$\lambda_1 = \dots = \lambda_{n-2} = \frac{\lambda_{n-1} + \lambda_n}{2}.$$

¹¹L. Mirsky. The spread of a matrix. *Mathematika*, 3:127-130, 1956. 

$$\text{Aplicación del Teorema 1. } \left(s(A) \leq \sqrt{2 \|A\|_F^2 - \frac{2}{n} (\text{tr } A)^2} \right) \quad (1)$$

Aplicación del Teorema 1. $\left(s(A) \leq \sqrt{2 \|A\|_F^2 - \frac{2}{n} (\text{tr } A)^2} \right) \quad (1)$

- La matriz de adyacencia de G ,

Aplicación del Teorema 1. $\left(s(A) \leq \sqrt{2 \|A\|_F^2 - \frac{2}{n} (\text{tr } A)^2} \right)$ (1)

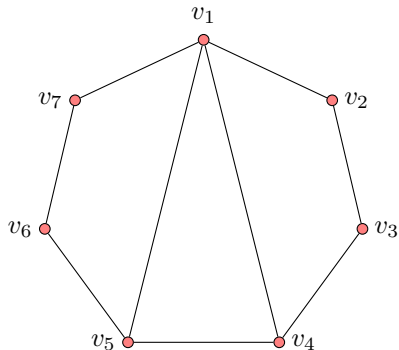
- La matriz de adyacencia de G , $s(G) \leq \sqrt{2 \cdot 2m - 0}$

Aplicación del Teorema 1. $\left(s(A) \leq \sqrt{2 \|A\|_F^2 - \frac{2}{n} (\text{tr } A)^2} \right)$ (1)

- La matriz de adyacencia de G , $s(G) \leq \sqrt{2 \cdot 2m - 0} = 2\sqrt{m}$.

Aplicación del Teorema 1. $\left(s(A) \leq \sqrt{2 \|A\|_F^2 - \frac{2}{n} (\text{tr } A)^2} \right) \quad (1)$

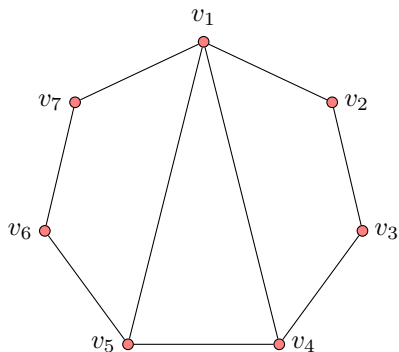
- La matriz de adyacencia de G , $s(G) \leq \sqrt{2 \cdot 2m - 0} = 2\sqrt{m}$.



$G =$ Grafo con 7 vértices y 9 aristas

Aplicación del Teorema 1. $\left(s(A) \leq \sqrt{2 \|A\|_F^2 - \frac{2}{n} (\text{tr } A)^2} \right) \quad (1)$

- La matriz de adyacencia de G , $s(G) \leq \sqrt{2 \cdot 2m - 0} = 2\sqrt{m}$.

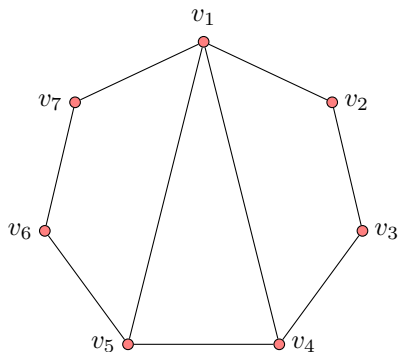


$$A_G = \begin{pmatrix} 0 & 1 & 0 & 1 & 1 & 0 & 1 \\ 1 & 0 & 1 & 0 & 0 & 0 & 0 \\ 0 & 1 & 0 & 1 & 0 & 0 & 0 \\ 1 & 0 & 1 & 0 & 1 & 0 & 0 \\ 1 & 0 & 0 & 1 & 0 & 1 & 0 \\ 0 & 0 & 0 & 0 & 1 & 0 & 1 \\ 1 & 0 & 0 & 0 & 0 & 1 & 0 \end{pmatrix}$$

$G =$ Grafo con 7 vértices y 9 aristas

Aplicación del Teorema 1. $\left(s(A) \leq \sqrt{2 \|A\|_F^2 - \frac{2}{n} (\text{tr } A)^2} \right) \quad (1)$

- La matriz de adyacencia de G , $s(G) \leq \sqrt{2 \cdot 2m - 0} = 2\sqrt{m}$.



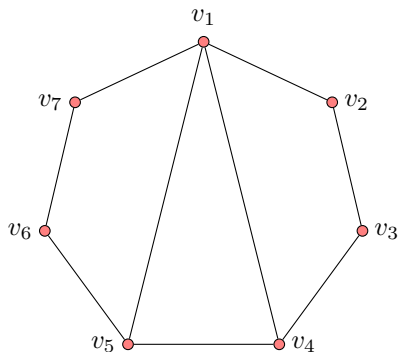
$$A_G = \begin{pmatrix} 0 & 1 & 0 & 1 & 1 & 0 & 1 \\ 1 & 0 & 1 & 0 & 0 & 0 & 0 \\ 0 & 1 & 0 & 1 & 0 & 0 & 0 \\ 1 & 0 & 1 & 0 & 1 & 0 & 0 \\ 1 & 0 & 0 & 1 & 0 & 1 & 0 \\ 0 & 0 & 0 & 0 & 1 & 0 & 1 \\ 1 & 0 & 0 & 0 & 0 & 1 & 0 \end{pmatrix}$$

- $s(G) = 2,7734$

$G =$ Grafo con 7 vértices y 9 aristas

Aplicación del Teorema 1. $\left(s(A) \leq \sqrt{2 \|A\|_F^2 - \frac{2}{n} (\text{tr } A)^2} \right) \quad (1)$

- La matriz de adyacencia de G , $s(G) \leq \sqrt{2 \cdot 2m - 0} = 2\sqrt{m}$.



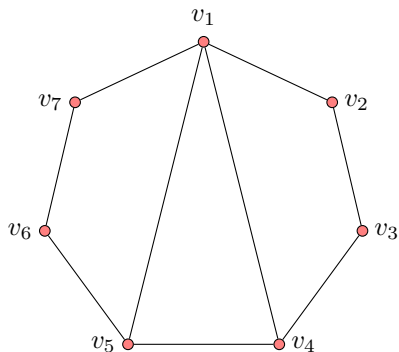
$$A_G = \begin{pmatrix} 0 & 1 & 0 & 1 & 1 & 0 & 1 \\ 1 & 0 & 1 & 0 & 0 & 0 & 0 \\ 0 & 1 & 0 & 1 & 0 & 0 & 0 \\ 1 & 0 & 1 & 0 & 1 & 0 & 0 \\ 1 & 0 & 0 & 1 & 0 & 1 & 0 \\ 0 & 0 & 0 & 0 & 1 & 0 & 1 \\ 1 & 0 & 0 & 0 & 0 & 1 & 0 \end{pmatrix}$$

- $s(G) = 2,7734 + 2,2534$

$G =$ Grafo con 7 vértices y 9 aristas

Aplicación del Teorema 1. $\left(s(A) \leq \sqrt{2 \|A\|_F^2 - \frac{2}{n} (\text{tr } A)^2} \right) \quad (1)$

- La matriz de adyacencia de G , $s(G) \leq \sqrt{2 \cdot 2m - 0} = 2\sqrt{m}$.



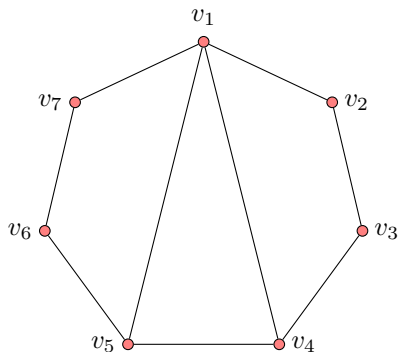
$$A_G = \begin{pmatrix} 0 & 1 & 0 & 1 & 1 & 0 & 1 \\ 1 & 0 & 1 & 0 & 0 & 0 & 0 \\ 0 & 1 & 0 & 1 & 0 & 0 & 0 \\ 1 & 0 & 1 & 0 & 1 & 0 & 0 \\ 1 & 0 & 0 & 1 & 0 & 1 & 0 \\ 0 & 0 & 0 & 0 & 1 & 0 & 1 \\ 1 & 0 & 0 & 0 & 0 & 1 & 0 \end{pmatrix}$$

- $s(G) = 2,7734 + 2,2534 = 5,0268$

$G =$ Grafo con 7 vértices y 9 aristas

Aplicación del Teorema 1. $\left(s(A) \leq \sqrt{2 \|A\|_F^2 - \frac{2}{n} (\text{tr } A)^2} \right) \quad (1)$

- La matriz de adyacencia de G , $s(G) \leq \sqrt{2 \cdot 2m - 0} = 2\sqrt{m}$.



$$A_G = \begin{pmatrix} 0 & 1 & 0 & 1 & 1 & 0 & 1 \\ 1 & 0 & 1 & 0 & 0 & 0 & 0 \\ 0 & 1 & 0 & 1 & 0 & 0 & 0 \\ 1 & 0 & 1 & 0 & 1 & 0 & 0 \\ 1 & 0 & 0 & 1 & 0 & 1 & 0 \\ 0 & 0 & 0 & 0 & 1 & 0 & 1 \\ 1 & 0 & 0 & 0 & 0 & 1 & 0 \end{pmatrix}$$

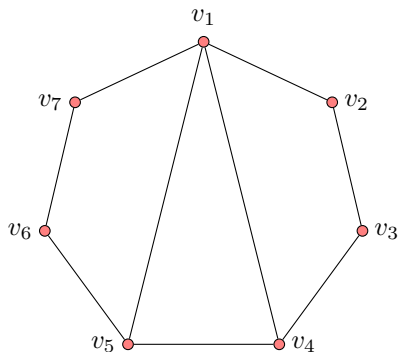
- $s(G) = 2,7734 + 2,2534 = 5,0268$

- (1)

$G =$ Grafo con 7 vértices y 9 aristas

Aplicación del Teorema 1. $\left(s(A) \leq \sqrt{2 \|A\|_F^2 - \frac{2}{n} (\text{tr } A)^2} \right) \quad (1)$

- La matriz de adyacencia de G , $s(G) \leq \sqrt{2 \cdot 2m - 0} = 2\sqrt{m}$.



$$A_G = \begin{pmatrix} 0 & 1 & 0 & 1 & 1 & 0 & 1 \\ 1 & 0 & 1 & 0 & 0 & 0 & 0 \\ 0 & 1 & 0 & 1 & 0 & 0 & 0 \\ 1 & 0 & 1 & 0 & 1 & 0 & 0 \\ 1 & 0 & 0 & 1 & 0 & 1 & 0 \\ 0 & 0 & 0 & 0 & 1 & 0 & 1 \\ 1 & 0 & 0 & 0 & 0 & 1 & 0 \end{pmatrix}$$

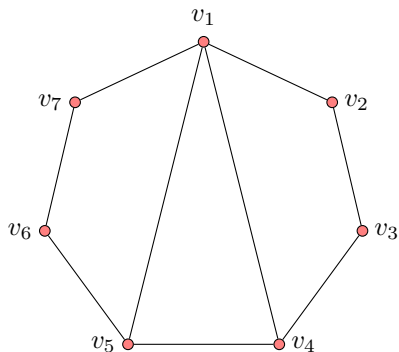
- $s(G) = 2,7734 + 2,2534 = 5,0268$

- (1) $2\sqrt{9} = 6$

$G =$ Grafo con 7 vértices y 9 aristas

Aplicación del Teorema 1. $\left(s(A) \leq \sqrt{2 \|A\|_F^2 - \frac{2}{n} (\text{tr } A)^2} \right) \quad (1)$

- La matriz de adyacencia de G , $s(G) \leq \sqrt{2 \cdot 2m - 0} = 2\sqrt{m}$.



$$A_G = \begin{pmatrix} 0 & 1 & 0 & 1 & 1 & 0 & 1 \\ 1 & 0 & 1 & 0 & 0 & 0 & 0 \\ 0 & 1 & 0 & 1 & 0 & 0 & 0 \\ 1 & 0 & 1 & 0 & 1 & 0 & 0 \\ 1 & 0 & 0 & 1 & 0 & 1 & 0 \\ 0 & 0 & 0 & 0 & 1 & 0 & 1 \\ 1 & 0 & 0 & 0 & 0 & 1 & 0 \end{pmatrix}$$

- $s(G) = 2,7734 + 2,2534 = 5,0268$

- (1) $2\sqrt{9} = 6$

$G =$ Grafo con 7 vértices y 9 aristas

Error relativo: 0,9732

$$\text{Aplicación del Teorema 1. } \left(s(A) \leq \sqrt{2 \|A\|_F^2 - \frac{2}{n} (\text{tr } A)^2} \right) \quad (1)$$

Aplicación del Teorema 1. $\left(s(A) \leq \sqrt{2 \|A\|_F^2 - \frac{2}{n} (\text{tr } A)^2} \right)$ (1)

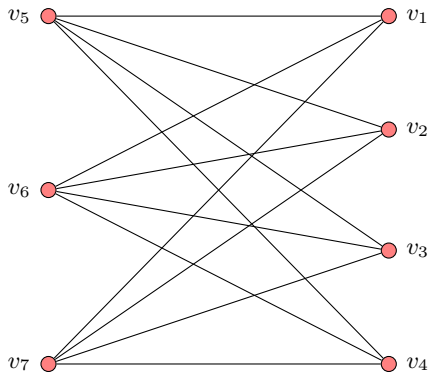
- El grafo $G = K_{a,b}$,

Aplicación del Teorema 1. $\left(s(A) \leq \sqrt{2 \|A\|_F^2 - \frac{2}{n} (\text{tr } A)^2} \right)$ (1)

- El grafo $G = K_{a,b}$, $\sigma(K_{a,b}) = \{\pm\sqrt{ab}, 0^{[a+b-2]}\}$.

Aplicación del Teorema 1. $\left(s(A) \leq \sqrt{2 \|A\|_F^2 - \frac{2}{n} (\text{tr } A)^2} \right) \quad (1)$

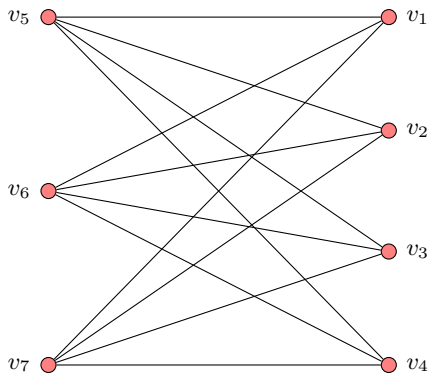
- El grafo $G = K_{a,b}$, $\sigma(K_{a,b}) = \{\pm\sqrt{ab}, 0^{[a+b-2]}\}$.



$G =$ Grafo bipartito semiregular $K_{3,4}$

Aplicación del Teorema 1. $\left(s(A) \leq \sqrt{2 \|A\|_F^2 - \frac{2}{n} (\text{tr } A)^2} \right) \quad (1)$

- El grafo $G = K_{a,b}$, $\sigma(K_{a,b}) = \{\pm\sqrt{ab}, 0^{[a+b-2]}\}$.

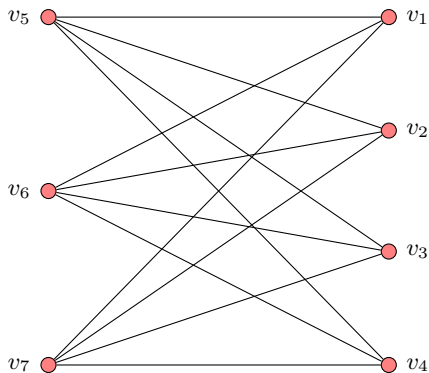


$G =$ Grafo bipartito semiregular $K_{3,4}$

$$A_G = \begin{pmatrix} 0 & 0 & 0 & 0 & 1 & 1 & 1 \\ 0 & 0 & 0 & 0 & 1 & 1 & 1 \\ 0 & 0 & 0 & 0 & 1 & 1 & 1 \\ 0 & 0 & 0 & 0 & 1 & 1 & 1 \\ 1 & 1 & 1 & 1 & 0 & 0 & 0 \\ 1 & 1 & 1 & 1 & 0 & 0 & 0 \\ 1 & 1 & 1 & 1 & 0 & 0 & 0 \end{pmatrix}$$

Aplicación del Teorema 1. $\left(s(A) \leq \sqrt{2 \|A\|_F^2 - \frac{2}{n} (\text{tr } A)^2} \right) \quad (1)$

- El grafo $G = K_{a,b}$, $\sigma(K_{a,b}) = \{\pm\sqrt{ab}, 0^{[a+b-2]}\}$.



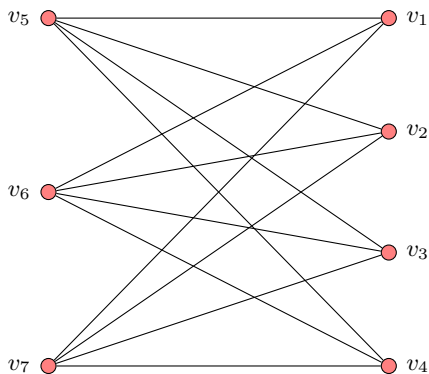
$G =$ Grafo bipartito semiregular $K_{3,4}$

$$A_G = \begin{pmatrix} 0 & 0 & 0 & 0 & 1 & 1 & 1 \\ 0 & 0 & 0 & 0 & 1 & 1 & 1 \\ 0 & 0 & 0 & 0 & 1 & 1 & 1 \\ 0 & 0 & 0 & 0 & 1 & 1 & 1 \\ 1 & 1 & 1 & 1 & 0 & 0 & 0 \\ 1 & 1 & 1 & 1 & 0 & 0 & 0 \\ 1 & 1 & 1 & 1 & 0 & 0 & 0 \end{pmatrix}$$

- $s(G) = \sqrt{12}$

Aplicación del Teorema 1. $\left(s(A) \leq \sqrt{2 \|A\|_F^2 - \frac{2}{n} (\text{tr } A)^2} \right) \quad (1)$

- El grafo $G = K_{a,b}$, $\sigma(K_{a,b}) = \{\pm\sqrt{ab}, 0^{[a+b-2]}\}$.



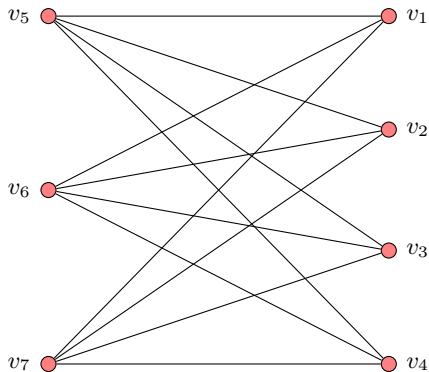
$G =$ Grafo bipartito semiregular $K_{3,4}$

$$A_G = \begin{pmatrix} 0 & 0 & 0 & 0 & 1 & 1 & 1 \\ 0 & 0 & 0 & 0 & 1 & 1 & 1 \\ 0 & 0 & 0 & 0 & 1 & 1 & 1 \\ 0 & 0 & 0 & 0 & 1 & 1 & 1 \\ 1 & 1 & 1 & 1 & 0 & 0 & 0 \\ 1 & 1 & 1 & 1 & 0 & 0 & 0 \\ 1 & 1 & 1 & 1 & 0 & 0 & 0 \end{pmatrix}$$

- $s(G) = \sqrt{12} + \sqrt{12}$

Aplicación del Teorema 1. $\left(s(A) \leq \sqrt{2 \|A\|_F^2 - \frac{2}{n} (\text{tr } A)^2} \right) \quad (1)$

- El grafo $G = K_{a,b}$, $\sigma(K_{a,b}) = \{\pm\sqrt{ab}, 0^{[a+b-2]}\}$.



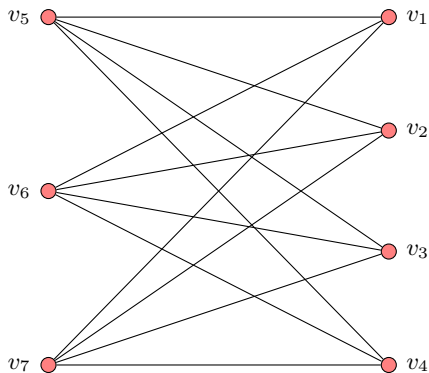
$G =$ Grafo bipartito semiregular $K_{3,4}$

$$A_G = \begin{pmatrix} 0 & 0 & 0 & 0 & 1 & 1 & 1 \\ 0 & 0 & 0 & 0 & 1 & 1 & 1 \\ 0 & 0 & 0 & 0 & 1 & 1 & 1 \\ 0 & 0 & 0 & 0 & 1 & 1 & 1 \\ 1 & 1 & 1 & 1 & 0 & 0 & 0 \\ 1 & 1 & 1 & 1 & 0 & 0 & 0 \\ 1 & 1 & 1 & 1 & 0 & 0 & 0 \end{pmatrix}$$

- $s(G) = \sqrt{12} + \sqrt{12} = 2\sqrt{12}$

Aplicación del Teorema 1. $\left(s(A) \leq \sqrt{2 \|A\|_F^2 - \frac{2}{n} (\text{tr } A)^2} \right)$ (1)

- El grafo $G = K_{a,b}$, $\sigma(K_{a,b}) = \{\pm\sqrt{ab}, 0^{[a+b-2]}\}$.



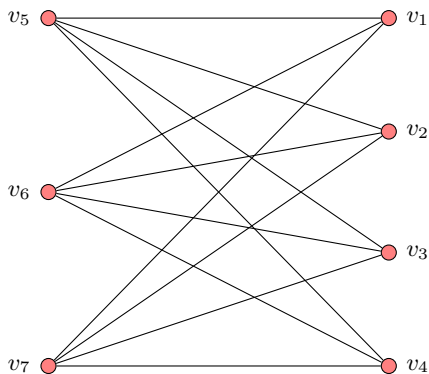
$G =$ Grafo bipartito semiregular $K_{3,4}$

$$A_G = \begin{pmatrix} 0 & 0 & 0 & 0 & 1 & 1 & 1 \\ 0 & 0 & 0 & 0 & 1 & 1 & 1 \\ 0 & 0 & 0 & 0 & 1 & 1 & 1 \\ 0 & 0 & 0 & 0 & 1 & 1 & 1 \\ 1 & 1 & 1 & 1 & 0 & 0 & 0 \\ 1 & 1 & 1 & 1 & 0 & 0 & 0 \\ 1 & 1 & 1 & 1 & 0 & 0 & 0 \end{pmatrix}$$

- $s(G) = \sqrt{12} + \sqrt{12} = 2\sqrt{12}$
- (1)

Aplicación del Teorema 1. $\left(s(A) \leq \sqrt{2 \|A\|_F^2 - \frac{2}{n} (\text{tr } A)^2} \right)$ (1)

- El grafo $G = K_{a,b}$, $\sigma(K_{a,b}) = \{\pm\sqrt{ab}, 0^{[a+b-2]}\}$.



$G =$ Grafo bipartito semiregular $K_{3,4}$

$$A_G = \begin{pmatrix} 0 & 0 & 0 & 0 & 1 & 1 & 1 \\ 0 & 0 & 0 & 0 & 1 & 1 & 1 \\ 0 & 0 & 0 & 0 & 1 & 1 & 1 \\ 0 & 0 & 0 & 0 & 1 & 1 & 1 \\ 1 & 1 & 1 & 1 & 0 & 0 & 0 \\ 1 & 1 & 1 & 1 & 0 & 0 & 0 \\ 1 & 1 & 1 & 1 & 0 & 0 & 0 \end{pmatrix}$$

- $s(G) = \sqrt{12} + \sqrt{12} = 2\sqrt{12}$
- (1) $2\sqrt{12}$

A_G es normal y cumple \mathfrak{C} .
 $(\lambda_2 = \dots = \lambda_{n-1} = \frac{\lambda_1 + \lambda_n}{2})$

Cota superior para $s_L(G)$ dada por Chen & Das¹²

¹²X. Chen and K.Ch. Das. Some results on the Laplacian spread of a graph. Linear Algebra Appl, 505:245-260, 2016.

Cota superior para $s_L(G)$ dada por Chen & Das¹²

Teorema 2:

Sea G un grafo con $n \geq 5$ vértices y $m \geq 1$ aristas. Entonces

¹²X. Chen and K.Ch. Das. Some results on the Laplacian spread of a graph. Linear Algebra Appl, 505:245-260, 2016.

Cota superior para $s_L(G)$ dada por Chen & Das¹²

Teorema 2:

Sea G un grafo con $n \geq 5$ vértices y $m \geq 1$ aristas. Entonces

$$s_L(G) \leq \sqrt{2 \sum_{i=1}^n d_i^2 + 4m - \frac{8m^2}{n-1}},$$

¹²X. Chen and K.Ch. Das. Some results on the Laplacian spread of a graph. Linear Algebra Appl, 505:245-260, 2016.

Cota superior para $s_L(G)$ dada por Chen & Das¹²

Teorema 2:

Sea G un grafo con $n \geq 5$ vértices y $m \geq 1$ aristas. Entonces

$$s_L(G) \leq \sqrt{2 \sum_{i=1}^n d_i^2 + 4m - \frac{8m^2}{n-1}},$$

y se cumple la igualdad si y solo si G es uno de los grafos

¹²X. Chen and K.Ch. Das. Some results on the Laplacian spread of a graph. Linear Algebra Appl, 505:245-260, 2016.

Cota superior para $s_L(G)$ dada por Chen & Das¹²

Teorema 2:

Sea G un grafo con $n \geq 5$ vértices y $m \geq 1$ aristas. Entonces

$$s_L(G) \leq \sqrt{2 \sum_{i=1}^n d_i^2 + 4m - \frac{8m^2}{n-1}},$$

y se cumple la igualdad si y solo si G es uno de los grafos

$$K_n, K_1 \cup 2K_{\frac{n-1}{2}}, \overline{K}_{\frac{n}{3}} \cup 2K_{\frac{n}{3}}, K_1 \cup K_{\frac{n-1}{2}, \frac{n-1}{2}}, K_{\frac{n}{3}} \cup K_{\frac{n}{3}, \frac{n}{3}}.$$

¹²X. Chen and K.Ch. Das. Some results on the Laplacian spread of a graph. Linear Algebra Appl, 505:245-260, 2016.

Cota superior para $s_L(G)$ dada por Chen & Das¹²

Teorema 2:

Sea G un grafo con $n \geq 5$ vértices y $m \geq 1$ aristas. Entonces

$$s_L(G) \leq \sqrt{2 \sum_{i=1}^n d_i^2 + 4m - \frac{8m^2}{n-1}},$$

y se cumple la igualdad si y solo si G es uno de los grafos

$$K_n, K_1 \cup 2K_{\frac{n-1}{2}}, \overline{K}_{\frac{n}{3}} \cup 2K_{\frac{n}{3}}, K_1 \cup K_{\frac{n-1}{2}, \frac{n-1}{2}}, K_{\frac{n}{3}} \cup K_{\frac{n}{3}, \frac{n}{3}}.$$

Corolario 2.1:

Sea G un grafo k -regular con n vértices. Entonces

¹²X. Chen and K.Ch. Das. Some results on the Laplacian spread of a graph. Linear Algebra Appl, 505:245-260, 2016.

Cota superior para $s_L(G)$ dada por Chen & Das¹²

Teorema 2:

Sea G un grafo con $n \geq 5$ vértices y $m \geq 1$ aristas. Entonces

$$s_L(G) \leq \sqrt{2 \sum_{i=1}^n d_i^2 + 4m - \frac{8m^2}{n-1}},$$

y se cumple la igualdad si y solo si G es uno de los grafos

$$K_n, K_1 \cup 2K_{\frac{n-1}{2}}, \overline{K}_{\frac{n}{3}} \cup 2K_{\frac{n}{3}}, K_1 \cup K_{\frac{n-1}{2}, \frac{n-1}{2}}, K_{\frac{n}{3}} \cup K_{\frac{n}{3}, \frac{n}{3}}.$$

Corolario 2.1:

Sea G un grafo k -regular con n vértices. Entonces

$$s_L(G) \leq \sqrt{\frac{2nk(n-k-1)}{n-1}},$$

¹²X. Chen and K.Ch. Das. Some results on the Laplacian spread of a graph. Linear Algebra Appl, 505:245-260, 2016.

Cota superior para $s_L(G)$ dada por Chen & Das¹²

Teorema 2:

Sea G un grafo con $n \geq 5$ vértices y $m \geq 1$ aristas. Entonces

$$s_L(G) \leq \sqrt{2 \sum_{i=1}^n d_i^2 + 4m - \frac{8m^2}{n-1}},$$

y se cumple la igualdad si y solo si G es uno de los grafos

$$K_n, K_1 \cup 2K_{\frac{n-1}{2}}, \overline{K}_{\frac{n}{3}} \cup 2K_{\frac{n}{3}}, K_1 \cup K_{\frac{n-1}{2}, \frac{n-1}{2}}, K_{\frac{n}{3}} \cup K_{\frac{n}{3}, \frac{n}{3}}.$$

Corolario 2.1:

Sea G un grafo k -regular con n vértices. Entonces

$$s_L(G) \leq \sqrt{\frac{2nk(n-k-1)}{n-1}},$$

y se cumple la igualdad si y solo si $G \cong K_n$.

¹²X. Chen and K.Ch. Das. Some results on the Laplacian spread of a graph. Linear Algebra Appl, 505:245-260, 2016.

Cota superior para $s_Q(G)$ (Establecida)¹³

Teorema 3:

¹³E. Andrade, G. Dahl, L. Leal, and M. Robbiano. New bounds for the signless Laplacian spread.

Submitted to Linear Algebra and its Applications, 2017

Cota superior para $s_Q(G)$ (Establecida)¹³

Teorema 3:

Sea G un (n, m) –grafo conectado. Entonces,

¹³E. Andrade, G. Dahl, L. Leal, and M. Robbiano. New bounds for the signless Laplacian spread.

Cota superior para $s_Q(G)$ (Establecida)¹³

Teorema 3:

Sea G un (n, m) -grafo conectado. Entonces,

$$s_Q(G) \leq \sqrt{2 \left(\sum_{i=1}^n d_i^2 + 2m \right) - \frac{8m^2}{n}} = \sqrt{2M_1(G) + 4m - \frac{8m^2}{n}}, \quad (2)$$

¹³E. Andrade, G. Dahl, L. Leal, and M. Robbiano. New bounds for the signless Laplacian spread.

Cota superior para $s_Q(G)$ (Establecida)¹³

Teorema 3:

Sea G un (n, m) -grafo conectado. Entonces,

$$s_Q(G) \leq \sqrt{2 \left(\sum_{i=1}^n d_i^2 + 2m \right) - \frac{8m^2}{n}} = \sqrt{2M_1(G) + 4m - \frac{8m^2}{n}}, \quad (2)$$

y se cumple la igualdad si y solo si $G \cong K_{\frac{n}{2}, \frac{n}{2}}$

Índice de Zagreb

$$M_1(G) = \sum_{i=1}^n d_i^2.$$

¹³E. Andrade, G. Dahl, L. Leal, and M. Robbiano. New bounds for the signless Laplacian spread.

Demostración del Teorema 3. $\left(s_Q(G) \leq \sqrt{2M_1(G) + 4m - \frac{8m^2}{n}} \right)$ (2)

Dado que Q_G es una matriz normal, aplicando el Teorema 1, se tiene

$$s_Q(G) \leq \sqrt{2\|Q_G\|_F^2 - \frac{2}{n}|\operatorname{tr}(Q_G)|^2},$$

Demostración del Teorema 3. $\left(s_Q(G) \leq \sqrt{2M_1(G) + 4m - \frac{8m^2}{n}} \right)$ (2)

Dado que Q_G es una matriz normal, aplicando el Teorema 1, se tiene

$$s_Q(G) \leq \sqrt{2\|Q_G\|_F^2 - \frac{2}{n}|\operatorname{tr}(Q_G)|^2},$$

como $\|Q_G\|_F^2 = M_1(G) + 2m$

Demostración del Teorema 3. $\left(s_Q(G) \leq \sqrt{2M_1(G) + 4m - \frac{8m^2}{n}} \right) \quad (2)$

Dado que Q_G es una matriz normal, aplicando el Teorema 1, se tiene

$$s_Q(G) \leq \sqrt{2\|Q_G\|_F^2 - \frac{2}{n}|\operatorname{tr}(Q_G)|^2},$$

como $\|Q_G\|_F^2 = M_1(G) + 2m$ y $\operatorname{tr}(Q_G) = 2m$, el resultado de (2) se sigue.

Demostración del Teorema 3. $\left(s_Q(G) \leq \sqrt{2M_1(G) + 4m - \frac{8m^2}{n}} \right)$ (2)

Dado que Q_G es una matriz normal, aplicando el Teorema 1, se tiene

$$s_Q(G) \leq \sqrt{2\|Q_G\|_F^2 - \frac{2}{n}|\operatorname{tr}(Q_G)|^2},$$

como $\|Q_G\|_F^2 = M_1(G) + 2m$ y $\operatorname{tr}(Q_G) = 2m$, el resultado de (2) se sigue.

Para la condición \mathfrak{E} se tiene,

$$2m = \operatorname{tr}(Q_G)$$

Demostración del Teorema 3. $\left(s_Q(G) \leq \sqrt{2M_1(G) + 4m - \frac{8m^2}{n}} \right) \quad (2)$

Dado que Q_G es una matriz normal, aplicando el Teorema 1, se tiene

$$s_Q(G) \leq \sqrt{2\|Q_G\|_F^2 - \frac{2}{n}|\operatorname{tr}(Q_G)|^2},$$

como $\|Q_G\|_F^2 = M_1(G) + 2m$ y $\operatorname{tr}(Q_G) = 2m$, el resultado de (2) se sigue.

Para la condición \mathfrak{E} se tiene,

$$\begin{aligned} 2m &= \operatorname{tr}(Q_G) \\ &= q_1 + (n-2) \left(\frac{q_1 + q_n}{2} \right) + q_n \end{aligned}$$

Demostración del Teorema 3. $\left(s_Q(G) \leq \sqrt{2M_1(G) + 4m - \frac{8m^2}{n}} \right) \quad (2)$

Dado que Q_G es una matriz normal, aplicando el Teorema 1, se tiene

$$s_Q(G) \leq \sqrt{2\|Q_G\|_F^2 - \frac{2}{n}|\operatorname{tr}(Q_G)|^2},$$

como $\|Q_G\|_F^2 = M_1(G) + 2m$ y $\operatorname{tr}(Q_G) = 2m$, el resultado de (2) se sigue.

Para la condición \mathfrak{E} se tiene,

$$\begin{aligned} 2m &= \operatorname{tr}(Q_G) \\ &= q_1 + (n-2) \left(\frac{q_1 + q_n}{2} \right) + q_n \\ &= (q_1 + q_n) \binom{n}{2} = nq_2 \\ q_2 &= \frac{2m}{n}. \end{aligned}$$

Demostración del Teorema 3. $\left(s_Q(G) \leq \sqrt{2M_1(G) + 4m - \frac{8m^2}{n}} \right) \quad (2)$

Luego, si se aplica el Lema 2.2³ y el cociente de Rayleigh⁴.

⁴Y. Hong and X.D Zhang. Sharp upper and lower bounds for largest eigenvalue of the Laplacian matrices of trees. Discrete Math, 296:187-197, 2005.

$$\rho(A) = x^T A x \Rightarrow Ax = \rho(A)x.$$

⁴F. Zhang. Matrix theory. Springer, New York, London, 2010.

$$\frac{x^T Q_G x}{x^T x} \leq q_1.$$

Demostración del Teorema 3. $\left(s_Q(G) \leq \sqrt{2M_1(G) + 4m - \frac{8m^2}{n}} \right) \quad (2)$

Luego, si se aplica el Lema 2.2³ y el cociente de Rayleigh⁴. Se tiene,

$$q_2 = \frac{2m}{n}$$

⁴Y. Hong and X.D Zhang. Sharp upper and lower bounds for largest eigenvalue of the Laplacian matrices of trees. Discrete Math, 296:187-197, 2005.

$$\rho(A) = x^T A x \Rightarrow Ax = \rho(A)x.$$

⁴F. Zhang. Matrix theory. Springer, New York, London, 2010.

$$\frac{x^T Q_G x}{x^T x} \leq q_1.$$

Demostración del Teorema 3. $\left(s_Q(G) \leq \sqrt{2M_1(G) + 4m - \frac{8m^2}{n}} \right) \quad (2)$

Luego, si se aplica el Lema 2.2³ y el cociente de Rayleigh⁴. Se tiene,

$$q_2 = \frac{2m}{n} = \frac{1}{2} \mathbf{e}^T Q_G \mathbf{e}$$

⁴Y. Hong and X.D Zhang. Sharp upper and lower bounds for largest eigenvalue of the Laplacian matrices of trees. Discrete Math, 296:187-197, 2005.

$$\rho(A) = x^T A x \Rightarrow Ax = \rho(A)x.$$

⁴F. Zhang. Matrix theory. Springer, New York, London, 2010.

$$\frac{x^T Q_G x}{x^T x} \leq q_1.$$

Demostración del Teorema 3. $\left(s_Q(G) \leq \sqrt{2M_1(G) + 4m - \frac{8m^2}{n}} \right)$ (2)

Luego, si se aplica el Lema 2.2³ y el cociente de Rayleigh⁴. Se tiene,

$$q_2 = \frac{2m}{n} = \frac{1}{2} \frac{\mathbf{e}^T Q_G \mathbf{e}}{\mathbf{e}^T \mathbf{e}}$$

⁴Y. Hong and X.D Zhang. Sharp upper and lower bounds for largest eigenvalue of the Laplacian matrices of trees. Discrete Math, 296:187-197, 2005.

$$\rho(A) = x^T A x \Rightarrow Ax = \rho(A)x.$$

⁴F. Zhang. Matrix theory. Springer, New York, London, 2010.

$$\frac{x^T Q_G x}{x^T x} \leq q_1.$$

Demostración del Teorema 3. $\left(s_Q(G) \leq \sqrt{2M_1(G) + 4m - \frac{8m^2}{n}} \right) \quad (2)$

Luego, si se aplica el Lema 2.2³ y el cociente de Rayleigh⁴. Se tiene,

$$q_2 = \frac{2m}{n} = \frac{1}{2} \frac{\mathbf{e}^T Q_G \mathbf{e}}{\mathbf{e}^T \mathbf{e}} \leq \frac{1}{2} q_1.$$

⁴Y. Hong and X.D Zhang. Sharp upper and lower bounds for largest eigenvalue of the Laplacian matrices of trees. Discrete Math, 296:187-197, 2005.

$$\rho(A) = x^T A x \Rightarrow Ax = \rho(A)x.$$

⁴F. Zhang. Matrix theory. Springer, New York, London, 2010.

$$\frac{x^T Q_G x}{x^T x} \leq q_1.$$

Demostración del Teorema 3. $\left(s_Q(G) \leq \sqrt{2M_1(G) + 4m - \frac{8m^2}{n}} \right) \quad (2)$

Luego, si se aplica el Lema 2.2³ y el cociente de Rayleigh⁴. Se tiene,

$$q_2 = \frac{2m}{n} = \frac{1}{2} \frac{\mathbf{e}^T Q_G \mathbf{e}}{\mathbf{e}^T \mathbf{e}} \leq \frac{1}{2} q_1.$$

Entonces, $q_2 = \frac{q_1 + q_n}{2} \leq \frac{1}{2} q_1$

⁴Y. Hong and X.D Zhang. Sharp upper and lower bounds for largest eigenvalue of the Laplacian matrices of trees. Discrete Math, 296:187-197, 2005.

$$\rho(A) = x^T A x \Rightarrow Ax = \rho(A)x.$$

⁴F. Zhang. Matrix theory. Springer, New York, London, 2010.

$$\frac{x^T Q_G x}{x^T x} \leq q_1.$$

Demostración del Teorema 3. $\left(s_Q(G) \leq \sqrt{2M_1(G) + 4m - \frac{8m^2}{n}} \right) \quad (2)$

Luego, si se aplica el Lema 2.2³ y el cociente de Rayleigh⁴. Se tiene,

$$q_2 = \frac{2m}{n} = \frac{1}{2} \frac{\mathbf{e}^T Q_G \mathbf{e}}{\mathbf{e}^T \mathbf{e}} \leq \frac{1}{2} q_1.$$

Entonces, $q_2 = \frac{q_1 + q_n}{2} \leq \frac{1}{2} q_1 \Rightarrow 2q_2 = q_1 + q_n \leq q_1.$

⁴Y. Hong and X.D Zhang. Sharp upper and lower bounds for largest eigenvalue of the Laplacian matrices of trees. Discrete Math, 296:187-197, 2005.

$$\rho(A) = x^T A x \Rightarrow Ax = \rho(A)x.$$

⁴F. Zhang. Matrix theory. Springer, New York, London, 2010.

$$\frac{x^T Q_G x}{x^T x} \leq q_1.$$

Demostración del Teorema 3. $\left(s_Q(G) \leq \sqrt{2M_1(G) + 4m - \frac{8m^2}{n}} \right) \quad (2)$

Luego, si se aplica el Lema 2.2³ y el cociente de Rayleigh⁴. Se tiene,

$$q_2 = \frac{2m}{n} = \frac{1}{2} \frac{\mathbf{e}^T Q_G \mathbf{e}}{\mathbf{e}^T \mathbf{e}} \leq \frac{1}{2} q_1.$$

Entonces, $q_2 = \frac{q_1 + q_n}{2} \leq \frac{1}{2} q_1 \Rightarrow 2q_2 = q_1 + q_n \leq q_1.$

$$\text{Así, } q_n = 0 \text{ y } q_2 = \frac{1}{2} q_1.$$

⁴Y. Hong and X.D Zhang. Sharp upper and lower bounds for largest eigenvalue of the Laplacian matrices of trees. Discrete Math, 296:187-197, 2005.

$$\rho(A) = x^T A x \Rightarrow Ax = \rho(A)x.$$

⁴F. Zhang. Matrix theory. Springer, New York, London, 2010.

$$\frac{x^T Q_G x}{x^T x} \leq q_1.$$

Demostración del Teorema 3. $\left(s_Q(G) \leq \sqrt{2M_1(G) + 4m - \frac{8m^2}{n}} \right) \quad (2)$

Luego, si se aplica el Lema 2.2³ y el cociente de Rayleigh⁴. Se tiene,

$$q_2 = \frac{2m}{n} = \frac{1}{2} \frac{\mathbf{e}^T Q_G \mathbf{e}}{\mathbf{e}^T \mathbf{e}} \leq \frac{1}{2} q_1.$$

Entonces, $q_2 = \frac{q_1 + q_n}{2} \leq \frac{1}{2} q_1 \Rightarrow 2q_2 = q_1 + q_n \leq q_1$.

$$\text{Así, } q_n = 0 \text{ y } q_2 = \frac{1}{2} q_1.$$

Obteniendo, $q_1 = 2q_2 = \frac{4m}{n}$

⁴Y. Hong and X.D Zhang. Sharp upper and lower bounds for largest eigenvalue of the Laplacian matrices of trees. Discrete Math, 296:187-197, 2005.

$$\rho(A) = x^T A x \Rightarrow Ax = \rho(A)x.$$

⁴F. Zhang. Matrix theory. Springer, New York, London, 2010.

$$\frac{x^T Q_G x}{x^T x} \leq q_1.$$

Demostración del Teorema 3. $\left(s_Q(G) \leq \sqrt{2M_1(G) + 4m - \frac{8m^2}{n}} \right)$ (2)

Luego, si se aplica el Lema 2.2³ y el cociente de Rayleigh⁴. Se tiene,

$$q_2 = \frac{2m}{n} = \frac{1}{2} \frac{\mathbf{e}^T Q_G \mathbf{e}}{\mathbf{e}^T \mathbf{e}} \leq \frac{1}{2} q_1.$$

Entonces, $q_2 = \frac{q_1 + q_n}{2} \leq \frac{1}{2} q_1 \Rightarrow 2q_2 = q_1 + q_n \leq q_1$.

$$\text{Así, } q_n = 0 \text{ y } q_2 = \frac{1}{2} q_1.$$

Obteniendo, $q_1 = 2q_2 = \frac{4m}{n} \Rightarrow G$ es regular con regularidad $\frac{n}{2}$.

⁴Y. Hong and X.D Zhang. Sharp upper and lower bounds for largest eigenvalue of the Laplacian matrices of trees. Discrete Math, 296:187-197, 2005.

$$\rho(A) = x^T A x \Rightarrow Ax = \rho(A)x.$$

⁴F. Zhang. Matrix theory. Springer, New York, London, 2010.

$$\frac{x^T Q_G x}{x^T x} \leq q_1.$$

Cota superior para $s_Q(G)$ (Establecida)¹³

Corolario 3.1:

¹³E. Andrade, G. Dahl, L. Leal, and M. Robbiano. New bounds for the signless Laplacian spread. Submitted to Linear Algebra and its Applications, 2017

Cota superior para $s_Q(G)$ (Establecida)¹³

Corolario 3.1:

Sea G_k un grafo k -regular con n vértices. Entonces

¹³E. Andrade, G. Dahl, L. Leal, and M. Robbiano. New bounds for the signless Laplacian spread.

Cota superior para $s_Q(G)$ (Establecida)¹³

Corolario 3.1:

Sea G_k un grafo k -regular con n vértices. Entonces

$$s_Q(G) \leq \sqrt{2nk}, \quad (3)$$

¹³E. Andrade, G. Dahl, L. Leal, and M. Robbiano. New bounds for the signless Laplacian spread.

Cota superior para $s_Q(G)$ (Establecida)¹³

Corolario 3.1:

Sea G_k un grafo k -regular con n vértices. Entonces

$$s_Q(G) \leq \sqrt{2nk}, \quad (3)$$

y se cumple la igualdad si y solo si $G \cong K_{\frac{n}{2}, \frac{n}{2}}$.

¹³E. Andrade, G. Dahl, L. Leal, and M. Robbiano. New bounds for the signless Laplacian spread. Submitted to Linear Algebra and its Applications, 2017

Demostración del Corolario 3.1. $\left(s_Q(G) \leq \sqrt{2nk} \right)$ (3)

Como el grafo es k -regular. Entonces

Demostración del Corolario 3.1. $\left(s_Q(G) \leq \sqrt{2nk}\right)$ (3)

Como el grafo es k -regular. Entonces

$$M_1(G) = \sum_{i=1}^n d_i^2 = nk^2.$$

Demostración del Corolario 3.1. $\left(s_Q(G) \leq \sqrt{2nk} \right)$ (3)

Como el grafo es k -regular. Entonces

$$M_1(G) = \sum_{i=1}^n d_i^2 = nk^2.$$

Además,

$$\text{tr } Q_G = 2m = kn$$

Demostración del Corolario 3.1. $\left(s_Q(G) \leq \sqrt{2nk} \right)$ (3)

Como el grafo es k -regular. Entonces

$$M_1(G) = \sum_{i=1}^n d_i^2 = nk^2.$$

Además,

$$\operatorname{tr} Q_G = 2m = kn \Rightarrow m = \frac{kn}{2}.$$

Demostración del Corolario 3.1. $\left(s_Q(G) \leq \sqrt{2nk}\right)$ (3)

Como el grafo es k -regular. Entonces

$$M_1(G) = \sum_{i=1}^n d_i^2 = nk^2.$$

Además,

$$\text{tr } Q_G = 2m = kn \Rightarrow m = \frac{kn}{2}.$$

Por lo tanto,

$$2M_1(G) + 4m - \frac{8m^2}{n}$$

Demostración del Corolario 3.1. $\left(s_Q(G) \leq \sqrt{2nk}\right)$ (3)

Como el grafo es k -regular. Entonces

$$M_1(G) = \sum_{i=1}^n d_i^2 = nk^2.$$

Además,

$$\text{tr } Q_G = 2m = kn \Rightarrow m = \frac{kn}{2}.$$

Por lo tanto,

$$2M_1(G) + 4m - \frac{8m^2}{n} = 2nk^2 + 4\left(\frac{kn}{2}\right) - \left(\frac{8}{n}\right)\left(\frac{kn}{2}\right)^2$$

Demostración del Corolario 3.1. $\left(s_Q(G) \leq \sqrt{2nk}\right)$ (3)

Como el grafo es k -regular. Entonces

$$M_1(G) = \sum_{i=1}^n d_i^2 = nk^2.$$

Además,

$$\text{tr } Q_G = 2m = kn \Rightarrow m = \frac{kn}{2}.$$

Por lo tanto,

$$\begin{aligned} 2M_1(G) + 4m - \frac{8m^2}{n} &= 2nk^2 + 4\left(\frac{kn}{2}\right) - \left(\frac{8}{n}\right)\left(\frac{kn}{2}\right)^2 \\ &= 2nk^2 + 2nk - 2nk^2 \\ &= 2nk. \end{aligned}$$

Cota superior para $s_Q(G)$ (Establecida)¹³

Corolario 3.2:

¹³E. Andrade, G. Dahl, L. Leal, and M. Robbiano. New bounds for the signless Laplacian spread.

Cota superior para $s_Q(G)$ (Establecida)¹³

Corolario 3.2:

Sea G un (n, m) –grafo conectado. Entonces

¹³E. Andrade, G. Dahl, L. Leal, and M. Robbiano. New bounds for the signless Laplacian spread.

Cota superior para $s_Q(G)$ (Establecida)¹³

Corolario 3.2:

Sea G un (n, m) -grafo conectado. Entonces

$$s_Q(G) \leq \sqrt{2m \left(\frac{2m}{n-1} + \frac{n-2}{n-1} \Delta + (\Delta - \delta) \left(1 - \frac{\Delta}{n-1} \right) \right)} + 4m - \frac{8m^2}{n}, \quad (4)$$

¹³E. Andrade, G. Dahl, L. Leal, and M. Robbiano. New bounds for the signless Laplacian spread. Submitted to Linear Algebra and its Applications, 2017

Cota superior para $s_Q(G)$ (Establecida)¹³

Corolario 3.2:

Sea G un (n, m) -grafo conectado. Entonces

$$s_Q(G) \leq \sqrt{2m \left(\frac{2m}{n-1} + \frac{n-2}{n-1} \Delta + (\Delta - \delta) \left(1 - \frac{\Delta}{n-1} \right) \right)} + 4m - \frac{8m^2}{n}, \quad (4)$$

y se cumple la igualdad si y solo si $G \cong K_{\frac{n}{2}, \frac{n}{2}}$.

¹³E. Andrade, G. Dahl, L. Leal, and M. Robbiano. New bounds for the signless Laplacian spread.

$$\left(s_Q(G) \leq \sqrt{2M_1(G) + 4m - \frac{8m^2}{n}} \right) (2) \Rightarrow \text{Teorema 3}$$

$$\left(s_Q(G) \leq \sqrt{2m \left(\frac{2m}{n-1} + \frac{n-2}{n-1} \Delta + (\Delta - \delta) \left(1 - \frac{\Delta}{n-1} \right) \right) + 4m - \frac{8m^2}{n}} \right) (4) \Rightarrow \text{Corolario 3.2}$$

Demostración del Corolario 3.2.

En el Teorema 4.2⁵ se demostró que:

$$M_1(G) \leq m \left(\frac{2m}{n-1} + \frac{n-2}{n-1} \Delta + (\Delta - \delta) \left(1 - \frac{\Delta}{n-1} \right) \right). \quad (5)$$

⁵K.Ch. Das. Maximizing the sum of the squares of the degrees of a graph. Discrete Mathematics, 285:57-66, 2004

$$\left(s_Q(G) \leq \sqrt{2M_1(G) + 4m - \frac{8m^2}{n}} \right) (2) \Rightarrow \text{Teorema 3}$$

$$\left(s_Q(G) \leq \sqrt{2m \left(\frac{2m}{n-1} + \frac{n-2}{n-1} \Delta + (\Delta - \delta) \left(1 - \frac{\Delta}{n-1} \right) \right) + 4m - \frac{8m^2}{n}} \right) (4) \Rightarrow \text{Corolario 3.2}$$

Demostración del Corolario 3.2.

En el Teorema 4.2⁵ se demostró que:

$$M_1(G) \leq m \left(\frac{2m}{n-1} + \frac{n-2}{n-1} \Delta + (\Delta - \delta) \left(1 - \frac{\Delta}{n-1} \right) \right). \quad (5)$$

Reemplazando $M_1(G)$ en el Teorema 3 por su cota superior en (5) el resultado se sigue.

⁵K.Ch. Das. Maximizing the sum of the squares of the degrees of a graph. Discrete Mathematics, 285:57-66, 2004

$$\left(s_Q(G) \leq \sqrt{2M_1(G) + 4m - \frac{8m^2}{n}} \right) (2) \Rightarrow \text{Teorema 3}$$

$$\left(s_Q(G) \leq \sqrt{2m \left(\frac{2m}{n-1} + \frac{n-2}{n-1} \Delta + (\Delta - \delta) \left(1 - \frac{\Delta}{n-1} \right) \right) + 4m - \frac{8m^2}{n}} \right) (4) \Rightarrow \text{Corolario 3.2}$$

Demostración del Corolario 3.2.

En el Teorema 4.2⁵ se demostró que:

$$M_1(G) \leq m \left(\frac{2m}{n-1} + \frac{n-2}{n-1} \Delta + (\Delta - \delta) \left(1 - \frac{\Delta}{n-1} \right) \right). \quad (5)$$

Reemplazando $M_1(G)$ en el Teorema 3 por su cota superior en (5) el resultado se sigue.

La igualdad se cumple si y solo si se cumple en Teorema 3 y (5), o equivalentemente $G \cong K_{\frac{n}{2}, \frac{n}{2}}$.

⁵K.Ch. Das. Maximizing the sum of the squares of the degrees of a graph. Discrete Mathematics, 285:57-66, 2004

AGENDA

- 1 Preliminares
 - Notaciones
 - Definiciones
 - Propiedades
 - Matrices asociadas a un grafo G
 - ✓ A_G ✓ L_G ✓ Q_G
 - ✓ Espectro ✓ Amplitud
- 2 Distintas cotas para las amplitudes del espectro de matrices asociadas a un grafo
- 3 Cotas superiores
 - ✓ Para $s(A)$ de Mirsky
 - ✓ Para $s_L(G)$ de Chen & Das
 - ✓ Para $s_Q(G)$ (Establecida)
- 4 Cotas inferiores
 - ✓ Para $s(A)$ de Barnes & Hoffman
 - ✓ Para $s(A)$ de Jiang & Zhan
 - ✓ Para $s_Q(G)$ (Establecida)
- 3 Comparación
- 4 Conclusiones

Cota inferior de Barnes & Hoffman¹⁴

¹⁴E.R. Barnes and A.J. Hoffman. Bounds for the spectrum of normal matrices. *Linear Algebra Appl.*, 201:79-90, 1994.

Cota inferior de Barnes & Hoffman¹⁴

Teorema 4:

¹⁴E.R. Barnes and A.J. Hoffman. Bounds for the spectrum of normal matrices. *Linear Algebra Appl.*, 201:79-90, 1994.

Cota inferior de Barnes & Hoffman¹⁴

Teorema 4:

Sea $A = (a_{ij})_{n \times n}$ una matriz Hermítica.

¹⁴E.R. Barnes and A.J. Hoffman. Bounds for the spectrum of normal matrices. *Linear Algebra Appl.*, 201:79-90, 1994.

Cota inferior de Barnes & Hoffman¹⁴

Teorema 4:

Sea $A = (a_{ij})_{n \times n}$ una matriz Hermítica. Entonces,

¹⁴E.R. Barnes and A.J. Hoffman. Bounds for the spectrum of normal matrices. *Linear Algebra Appl.*, 201:79-90, 1994.

Cota inferior de Barnes & Hoffman¹⁴

Teorema 4:

Sea $A = (a_{ij})_{n \times n}$ una matriz Hermítica. Entonces,

$$s(A)^2 \geq \max_{i,j} \left\{ (a_{ii} - a_{jj})^2 + 2 \sum_{k \neq i}^n |a_{ik}|^2 + 2 \sum_{k \neq j}^n |a_{jk}|^2 \right\}. \quad (6)$$

¹⁴E.R. Barnes and A.J. Hoffman. Bounds for the spectrum of normal matrices. *Linear Algebra Appl.*, 201:79-90, 1994.

$$\text{Aplicación del Teorema 4. } \left(s(A)^2 \geq \max_{i,j} \left\{ (a_{ii} - a_{jj})^2 + 2 \sum_{k \neq i}^n |a_{ik}|^2 + 2 \sum_{k \neq j}^n |a_{jk}|^2 \right\} \right) \quad (6)$$

$$\text{Aplicación del Teorema 4. } \left(s(A)^2 \geq \max_{i,j} \left\{ (a_{ii} - a_{jj})^2 + 2 \sum_{k \neq i}^n |a_{ik}|^2 + 2 \sum_{k \neq j}^n |a_{jk}|^2 \right\} \right) \quad (6)$$

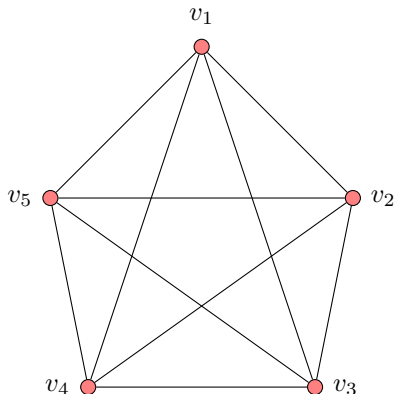
- La matriz de adyacencia de G ,

Aplicación del Teorema 4. $\left(s(A)^2 \geq \max_{i,j} \left\{ (a_{ii} - a_{jj})^2 + 2 \sum_{k \neq i} |a_{ik}|^2 + 2 \sum_{k \neq j} |a_{jk}|^2 \right\} \right) \quad (6)$

- La matriz de adyacencia de G , $s(G) \geq 2\sqrt{\Delta}$.

Aplicación del Teorema 4. $\left(s(A)^2 \geq \max_{i,j} \left\{ (a_{ii} - a_{jj})^2 + 2 \sum_{k \neq i}^n |a_{ik}|^2 + 2 \sum_{k \neq j}^n |a_{jk}|^2 \right\} \right) \quad (6)$

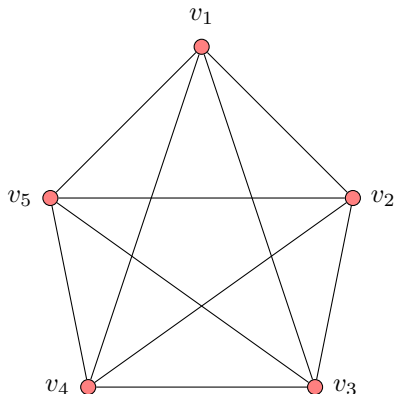
- La matriz de adyacencia de G , $s(G) \geq 2\sqrt{\Delta}$.



$G =$ Grafo completo K_5

Aplicación del Teorema 4. $\left(s(A)^2 \geq \max_{i,j} \left\{ (a_{ii} - a_{jj})^2 + 2 \sum_{k \neq i} |a_{ik}|^2 + 2 \sum_{k \neq j} |a_{jk}|^2 \right\} \right)$ (6)

- La matriz de adyacencia de G , $s(G) \geq 2\sqrt{\Delta}$.

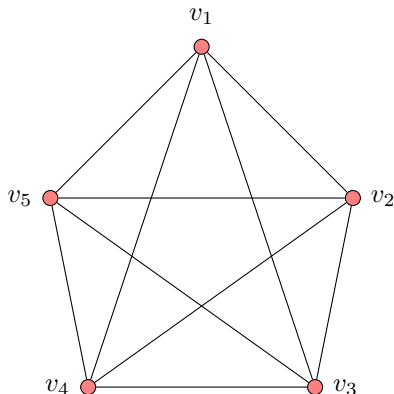


$G =$ Grafo completo K_5

$$A_G = \begin{pmatrix} 0 & 1 & 1 & 1 & 1 \\ 1 & 0 & 1 & 1 & 1 \\ 1 & 1 & 0 & 1 & 1 \\ 1 & 1 & 1 & 0 & 1 \\ 1 & 1 & 1 & 1 & 0 \end{pmatrix}$$

Aplicación del Teorema 4. $\left(s(A)^2 \geq \max_{i,j} \left\{ (a_{ii} - a_{jj})^2 + 2 \sum_{k \neq i}^n |a_{ik}|^2 + 2 \sum_{k \neq j}^n |a_{jk}|^2 \right\} \right) \quad (6)$

- La matriz de adyacencia de G , $s(G) \geq 2\sqrt{\Delta}$.



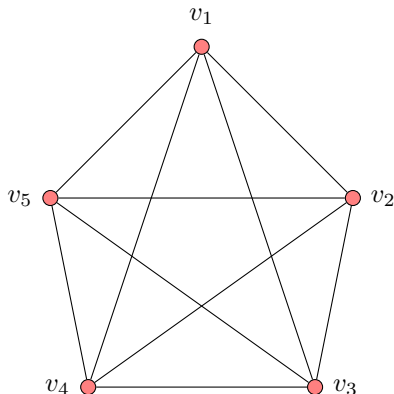
$G =$ Grafo completo K_5

$$A_G = \begin{pmatrix} 0 & 1 & 1 & 1 & 1 \\ 1 & 0 & 1 & 1 & 1 \\ 1 & 1 & 0 & 1 & 1 \\ 1 & 1 & 1 & 0 & 1 \\ 1 & 1 & 1 & 1 & 0 \end{pmatrix}$$

- $s(G) = 4$

Aplicación del Teorema 4. $\left(s(A)^2 \geq \max_{i,j} \left\{ (a_{ii} - a_{jj})^2 + 2 \sum_{k \neq i}^n |a_{ik}|^2 + 2 \sum_{k \neq j}^n |a_{jk}|^2 \right\} \right) \quad (6)$

- La matriz de adyacencia de G , $s(G) \geq 2\sqrt{\Delta}$.



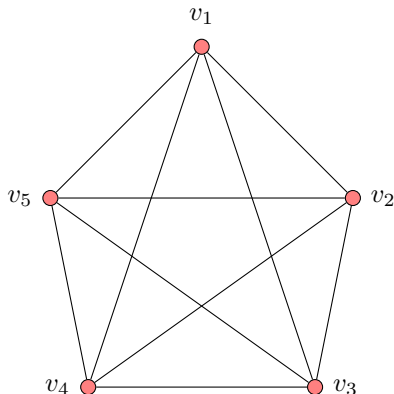
$G =$ Grafo completo K_5

$$A_G = \begin{pmatrix} 0 & 1 & 1 & 1 & 1 \\ 1 & 0 & 1 & 1 & 1 \\ 1 & 1 & 0 & 1 & 1 \\ 1 & 1 & 1 & 0 & 1 \\ 1 & 1 & 1 & 1 & 0 \end{pmatrix}$$

- $s(G) = 4 + 1$

Aplicación del Teorema 4. $\left(s(A)^2 \geq \max_{i,j} \left\{ (a_{ii} - a_{jj})^2 + 2 \sum_{k \neq i}^n |a_{ik}|^2 + 2 \sum_{k \neq j}^n |a_{jk}|^2 \right\} \right)$ (6)

- La matriz de adyacencia de G , $s(G) \geq 2\sqrt{\Delta}$.



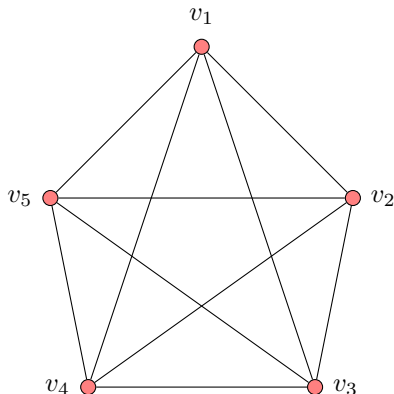
$G =$ Grafo completo K_5

$$A_G = \begin{pmatrix} 0 & 1 & 1 & 1 & 1 \\ 1 & 0 & 1 & 1 & 1 \\ 1 & 1 & 0 & 1 & 1 \\ 1 & 1 & 1 & 0 & 1 \\ 1 & 1 & 1 & 1 & 0 \end{pmatrix}$$

- $s(G) = 4 + 1 = 5$

Aplicación del Teorema 4. $\left(s(A)^2 \geq \max_{i,j} \left\{ (a_{ii} - a_{jj})^2 + 2 \sum_{k \neq i}^n |a_{ik}|^2 + 2 \sum_{k \neq j}^n |a_{jk}|^2 \right\} \right) \quad (6)$

- La matriz de adyacencia de G , $s(G) \geq 2\sqrt{\Delta}$.



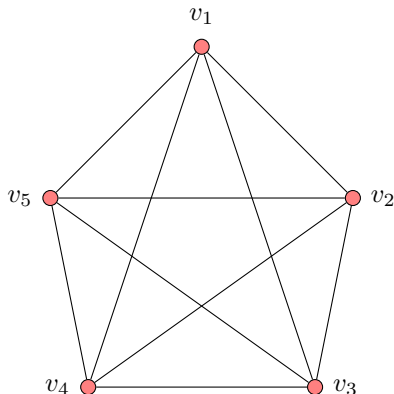
$G = \text{Grafo completo } K_5$

$$A_G = \begin{pmatrix} 0 & 1 & 1 & 1 & 1 \\ 1 & 0 & 1 & 1 & 1 \\ 1 & 1 & 0 & 1 & 1 \\ 1 & 1 & 1 & 0 & 1 \\ 1 & 1 & 1 & 1 & 0 \end{pmatrix}$$

- $s(G) = 4 + 1 = 5$
- (2)

Aplicación del Teorema 4. $\left(s(A)^2 \geq \max_{i,j} \left\{ (a_{ii} - a_{jj})^2 + 2 \sum_{k \neq i}^n |a_{ik}|^2 + 2 \sum_{k \neq j}^n |a_{jk}|^2 \right\} \right)$ (6)

- La matriz de adyacencia de G , $s(G) \geq 2\sqrt{\Delta}$.



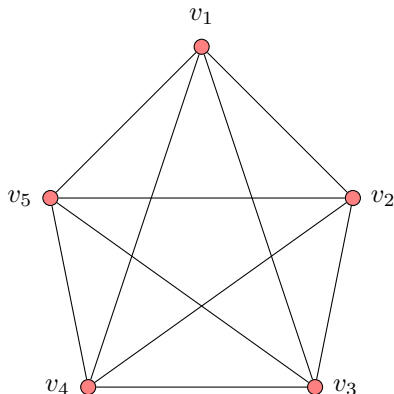
$G =$ Grafo completo K_5

$$A_G = \begin{pmatrix} 0 & 1 & 1 & 1 & 1 \\ 1 & 0 & 1 & 1 & 1 \\ 1 & 1 & 0 & 1 & 1 \\ 1 & 1 & 1 & 0 & 1 \\ 1 & 1 & 1 & 1 & 0 \end{pmatrix}$$

- $s(G) = 4 + 1 = 5$
- (2) $2\sqrt{4} = 4$

Aplicación del Teorema 4. $\left(s(A)^2 \geq \max_{i,j} \left\{ (a_{ii} - a_{jj})^2 + 2 \sum_{k \neq i} |a_{ik}|^2 + 2 \sum_{k \neq j} |a_{jk}|^2 \right\} \right)$ (6)

- La matriz de adyacencia de G , $s(G) \geq 2\sqrt{\Delta}$.



$G =$ Grafo completo K_5

$$A_G = \begin{pmatrix} 0 & 1 & 1 & 1 & 1 \\ 1 & 0 & 1 & 1 & 1 \\ 1 & 1 & 0 & 1 & 1 \\ 1 & 1 & 1 & 0 & 1 \\ 1 & 1 & 1 & 1 & 0 \end{pmatrix}$$

- $s(G) = 4 + 1 = 5$
- (2) $2\sqrt{4} = 4$

Error relativo: 1

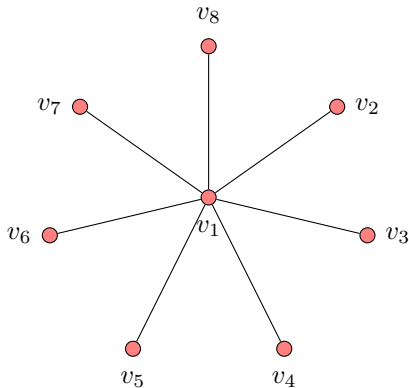
$$\text{Aplicación del Teorema 4. } \left(s(A)^2 \geq \max_{i,j} \left\{ (a_{ii} - a_{jj})^2 + 2 \sum_{k \neq i}^n |a_{ik}|^2 + 2 \sum_{k \neq j}^n |a_{jk}|^2 \right\} \right) \quad (6)$$

$$\text{Aplicación del Teorema 4. } \left(s(A)^2 \geq \max_{i,j} \left\{ (a_{ii} - a_{jj})^2 + 2 \sum_{k \neq i}^n |a_{ik}|^2 + 2 \sum_{k \neq j}^n |a_{jk}|^2 \right\} \right) \quad (6)$$

- El grafo $G = K_{1,n-1}$.

Aplicación del Teorema 4. $\left(s(A)^2 \geq \max_{i,j} \left\{ (a_{ii} - a_{jj})^2 + 2 \sum_{k \neq i}^n |a_{ik}|^2 + 2 \sum_{k \neq j}^n |a_{jk}|^2 \right\} \right) \quad (6)$

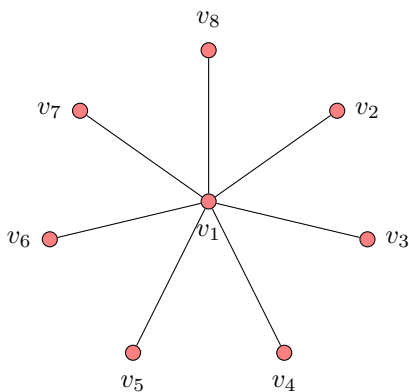
- El grafo $G = K_{1,n-1}$. Cumple la igualdad.



$G = \text{Estrella } S_7$

Aplicación del Teorema 4. $\left(s(A)^2 \geq \max_{i,j} \left\{ (a_{ii} - a_{jj})^2 + 2 \sum_{k \neq i}^n |a_{ik}|^2 + 2 \sum_{k \neq j}^n |a_{jk}|^2 \right\} \right)$ (6)

- El grafo $G = K_{1,n-1}$. Cumple la igualdad.

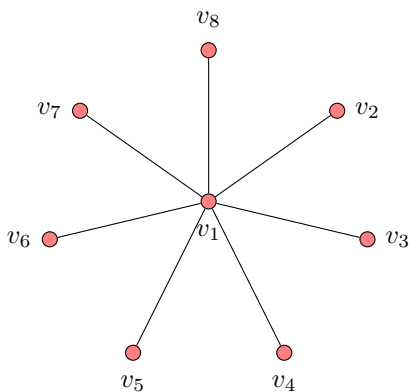


$G = \text{Estrella } S_7$

$$A_G = \begin{pmatrix} 0 & 1 & 1 & 1 & 1 & 1 & 1 & 1 \\ 1 & 0 & 0 & 0 & 0 & 0 & 0 & 0 \\ 1 & 0 & 0 & 0 & 0 & 0 & 0 & 0 \\ 1 & 0 & 0 & 0 & 0 & 0 & 0 & 0 \\ 1 & 0 & 0 & 0 & 0 & 0 & 0 & 0 \\ 1 & 0 & 0 & 0 & 0 & 0 & 0 & 0 \\ 1 & 0 & 0 & 0 & 0 & 0 & 0 & 0 \\ 1 & 0 & 0 & 0 & 0 & 0 & 0 & 0 \end{pmatrix}$$

Aplicación del Teorema 4. $\left(s(A)^2 \geq \max_{i,j} \left\{ (a_{ii} - a_{jj})^2 + 2 \sum_{k \neq i}^n |a_{ik}|^2 + 2 \sum_{k \neq j}^n |a_{jk}|^2 \right\} \right)$ (6)

- El grafo $G = K_{1,n-1}$. Cumple la igualdad.



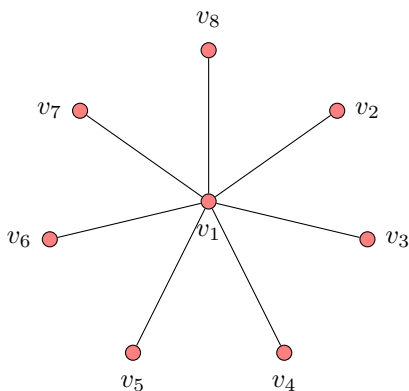
$G = \text{Estrella } S_7$

$$A_G = \begin{pmatrix} 0 & 1 & 1 & 1 & 1 & 1 & 1 & 1 \\ 1 & 0 & 0 & 0 & 0 & 0 & 0 & 0 \\ 1 & 0 & 0 & 0 & 0 & 0 & 0 & 0 \\ 1 & 0 & 0 & 0 & 0 & 0 & 0 & 0 \\ 1 & 0 & 0 & 0 & 0 & 0 & 0 & 0 \\ 1 & 0 & 0 & 0 & 0 & 0 & 0 & 0 \\ 1 & 0 & 0 & 0 & 0 & 0 & 0 & 0 \\ 1 & 0 & 0 & 0 & 0 & 0 & 0 & 0 \end{pmatrix}$$

- $s(G) = \sqrt{7}$

Aplicación del Teorema 4. $\left(s(A)^2 \geq \max_{i,j} \left\{ (a_{ii} - a_{jj})^2 + 2 \sum_{k \neq i} |a_{ik}|^2 + 2 \sum_{k \neq j} |a_{jk}|^2 \right\} \right)$ (6)

- El grafo $G = K_{1,n-1}$. Cumple la igualdad.



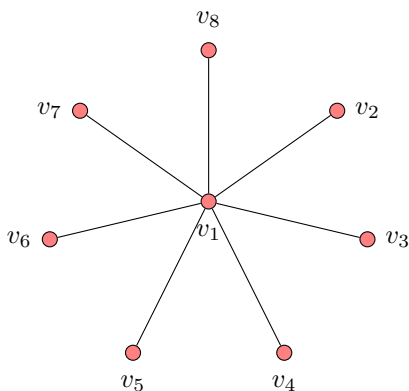
$G = \text{Estrella } S_7$

$$A_G = \begin{pmatrix} 0 & 1 & 1 & 1 & 1 & 1 & 1 & 1 \\ 1 & 0 & 0 & 0 & 0 & 0 & 0 & 0 \\ 1 & 0 & 0 & 0 & 0 & 0 & 0 & 0 \\ 1 & 0 & 0 & 0 & 0 & 0 & 0 & 0 \\ 1 & 0 & 0 & 0 & 0 & 0 & 0 & 0 \\ 1 & 0 & 0 & 0 & 0 & 0 & 0 & 0 \\ 1 & 0 & 0 & 0 & 0 & 0 & 0 & 0 \\ 1 & 0 & 0 & 0 & 0 & 0 & 0 & 0 \end{pmatrix}$$

- $s(G) = \sqrt{7} + \sqrt{7}$

Aplicación del Teorema 4. $\left(s(A)^2 \geq \max_{i,j} \left\{ (a_{ii} - a_{jj})^2 + 2 \sum_{k \neq i} |a_{ik}|^2 + 2 \sum_{k \neq j} |a_{jk}|^2 \right\} \right)$ (6)

- El grafo $G = K_{1,n-1}$. Cumple la igualdad.



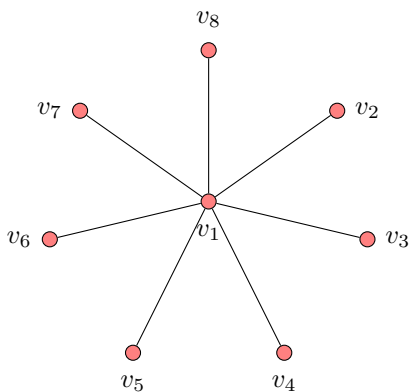
$G = \text{Estrella } S_7$

$$A_G = \begin{pmatrix} 0 & 1 & 1 & 1 & 1 & 1 & 1 & 1 \\ 1 & 0 & 0 & 0 & 0 & 0 & 0 & 0 \\ 1 & 0 & 0 & 0 & 0 & 0 & 0 & 0 \\ 1 & 0 & 0 & 0 & 0 & 0 & 0 & 0 \\ 1 & 0 & 0 & 0 & 0 & 0 & 0 & 0 \\ 1 & 0 & 0 & 0 & 0 & 0 & 0 & 0 \\ 1 & 0 & 0 & 0 & 0 & 0 & 0 & 0 \\ 1 & 0 & 0 & 0 & 0 & 0 & 0 & 0 \end{pmatrix}$$

- $s(G) = \sqrt{7} + \sqrt{7} = 2\sqrt{7}$

Aplicación del Teorema 4. $\left(s(A)^2 \geq \max_{i,j} \left\{ (a_{ii} - a_{jj})^2 + 2 \sum_{k \neq i} |a_{ik}|^2 + 2 \sum_{k \neq j} |a_{jk}|^2 \right\} \right)$ (6)

- El grafo $G = K_{1,n-1}$. Cumple la igualdad.



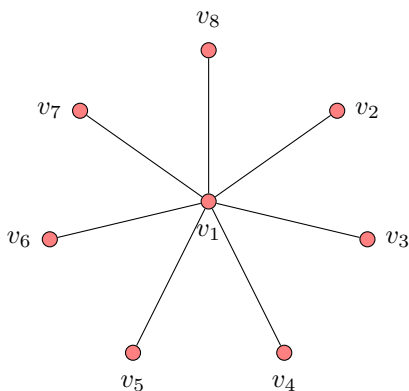
$G = \text{Estrella } S_7$

$$A_G = \begin{pmatrix} 0 & 1 & 1 & 1 & 1 & 1 & 1 & 1 \\ 1 & 0 & 0 & 0 & 0 & 0 & 0 & 0 \\ 1 & 0 & 0 & 0 & 0 & 0 & 0 & 0 \\ 1 & 0 & 0 & 0 & 0 & 0 & 0 & 0 \\ 1 & 0 & 0 & 0 & 0 & 0 & 0 & 0 \\ 1 & 0 & 0 & 0 & 0 & 0 & 0 & 0 \\ 1 & 0 & 0 & 0 & 0 & 0 & 0 & 0 \\ 1 & 0 & 0 & 0 & 0 & 0 & 0 & 0 \end{pmatrix}$$

- $s(G) = \sqrt{7} + \sqrt{7} = 2\sqrt{7}$
- (2)

Aplicación del Teorema 4. $\left(s(A)^2 \geq \max_{i,j} \left\{ (a_{ii} - a_{jj})^2 + 2 \sum_{k \neq i} |a_{ik}|^2 + 2 \sum_{k \neq j} |a_{jk}|^2 \right\} \right)$ (6)

- El grafo $G = K_{1,n-1}$. Cumple la igualdad.



$G = \text{Estrella } S_7$

$$A_G = \begin{pmatrix} 0 & 1 & 1 & 1 & 1 & 1 & 1 & 1 \\ 1 & 0 & 0 & 0 & 0 & 0 & 0 & 0 \\ 1 & 0 & 0 & 0 & 0 & 0 & 0 & 0 \\ 1 & 0 & 0 & 0 & 0 & 0 & 0 & 0 \\ 1 & 0 & 0 & 0 & 0 & 0 & 0 & 0 \\ 1 & 0 & 0 & 0 & 0 & 0 & 0 & 0 \\ 1 & 0 & 0 & 0 & 0 & 0 & 0 & 0 \\ 1 & 0 & 0 & 0 & 0 & 0 & 0 & 0 \end{pmatrix}$$

- $s(G) = \sqrt{7} + \sqrt{7} = 2\sqrt{7}$
- (2) $\sqrt{2 * 7 + 2 * 7} = 2\sqrt{7}$

Cota inferior de Jiang & Zhan¹⁵

Teorema 5:

¹⁵E. Jiang and X. Zhan. Lower bounds for the spread of a Hermitian matrix. *Linear Algebra Appl.*, 256:153-163, 1997.

Cota inferior de Jiang & Zhan¹⁵

Teorema 5:

Sea $A = (a_{ij})_{n \times n}$ una matriz Hermítica.

¹⁵E. Jiang and X. Zhan. Lower bounds for the spread of a Hermitian matrix. *Linear Algebra Appl.*, 256:153-163, 1997.

Cota inferior de Jiang & Zhan¹⁵

Teorema 5:

Sea $A = (a_{ij})_{n \times n}$ una matriz Hermítica. Entonces,

¹⁵E. Jiang and X. Zhan. Lower bounds for the spread of a Hermitian matrix. *Linear Algebra Appl.*, 256:153-163, 1997.

Cota inferior de Jiang & Zhan¹⁵

Teorema 5:

Sea $A = (a_{ij})_{n \times n}$ una matriz Hermítica. Entonces,

$$s^2(A) \geq \max_{i \neq j} \left\{ (a_{ii} - a_{jj})^2 + 2 \sum_{k \neq i}^n |a_{ik}|^2 + 2 \sum_{k \neq j}^n |a_{jk}|^2 + e_{ij} \right\},$$

¹⁵E. Jiang and X. Zhan. Lower bounds for the spread of a Hermitian matrix. *Linear Algebra Appl.*, 256:153-163, 1997.

Cota inferior de Jiang & Zhan¹⁵

Teorema 5:

Sea $A = (a_{ij})_{n \times n}$ una matriz Hermítica. Entonces,

$$s^2(A) \geq \max_{i \neq j} \left\{ (a_{ii} - a_{jj})^2 + 2 \sum_{k \neq i}^n |a_{ik}|^2 + 2 \sum_{k \neq j}^n |a_{jk}|^2 + e_{ij} \right\}, \quad (7)$$

donde,

¹⁵E. Jiang and X. Zhan. Lower bounds for the spread of a Hermitian matrix. *Linear Algebra Appl.*, 256:153-163, 1997.

Cota inferior de Jiang & Zhan¹⁵

Teorema 5:

Sea $A = (a_{ij})_{n \times n}$ una matriz Hermítica. Entonces,

$$s^2(A) \geq \max_{i \neq j} \left\{ (a_{ii} - a_{jj})^2 + 2 \sum_{k \neq i}^n |a_{ik}|^2 + 2 \sum_{k \neq j}^n |a_{jk}|^2 + e_{ij} \right\}, \quad (7)$$

donde,

$$e_{ij} = \begin{cases} 2f_{ij} \\ \end{cases}$$

¹⁵E. Jiang and X. Zhan. Lower bounds for the spread of a Hermitian matrix. *Linear Algebra Appl.*, 256:153-163, 1997.

Cota inferior de Jiang & Zhan¹⁵

Teorema 5:

Sea $A = (a_{ij})_{n \times n}$ una matriz Hermítica. Entonces,

$$s^2(A) \geq \max_{i \neq j} \left\{ (a_{ii} - a_{jj})^2 + 2 \sum_{k \neq i}^n |a_{ik}|^2 + 2 \sum_{k \neq j}^n |a_{jk}|^2 + e_{ij} \right\}, \quad (7)$$

donde,

$$e_{ij} = \begin{cases} 2f_{ij} & \text{si } a_{ii} = a_{jj}, \end{cases}$$

¹⁵E. Jiang and X. Zhan. Lower bounds for the spread of a Hermitian matrix. *Linear Algebra Appl.*, 256:153-163, 1997.

Cota inferior de Jiang & Zhan¹⁵

Teorema 5:

Sea $A = (a_{ij})_{n \times n}$ una matriz Hermítica. Entonces,

$$s^2(A) \geq \max_{i \neq j} \left\{ (a_{ii} - a_{jj})^2 + 2 \sum_{k \neq i}^n |a_{ik}|^2 + 2 \sum_{k \neq j}^n |a_{jk}|^2 + e_{ij} \right\}, \quad (7)$$

donde,

$$e_{ij} = \begin{cases} 2f_{ij} & \text{si } a_{ii} = a_{jj}, \\ \min \left\{ (a_{ii} - a_{jj})^2 + 2|(a_{ii} - a_{jj})^2 - f_{ij}|, \right. & \end{cases}$$

¹⁵E. Jiang and X. Zhan. Lower bounds for the spread of a Hermitian matrix. *Linear Algebra Appl.*, 256:153-163, 1997.

Cota inferior de Jiang & Zhan¹⁵

Teorema 5:

Sea $A = (a_{ij})_{n \times n}$ una matriz Hermítica. Entonces,

$$s^2(A) \geq \max_{i \neq j} \left\{ (a_{ii} - a_{jj})^2 + 2 \sum_{k \neq i}^n |a_{ik}|^2 + 2 \sum_{k \neq j}^n |a_{jk}|^2 + e_{ij} \right\}, \quad (7)$$

donde,

$$e_{ij} = \begin{cases} 2f_{ij} & \text{si } a_{ii} = a_{jj}, \\ \min \left\{ (a_{ii} - a_{jj})^2 + 2|(a_{ii} - a_{jj})^2 - f_{ij}|, \frac{f_{ij}^2}{(a_{ii} - a_{jj})^2} \right\} & \end{cases}$$

¹⁵E. Jiang and X. Zhan. Lower bounds for the spread of a Hermitian matrix. Linear Algebra Appl, 256:153-163, 1997.

Cota inferior de Jiang & Zhan¹⁵

Teorema 5:

Sea $A = (a_{ij})_{n \times n}$ una matriz Hermítica. Entonces,

$$s^2(A) \geq \max_{i \neq j} \left\{ (a_{ii} - a_{jj})^2 + 2 \sum_{k \neq i}^n |a_{ik}|^2 + 2 \sum_{k \neq j}^n |a_{jk}|^2 + e_{ij} \right\}, \quad (7)$$

donde,

$$e_{ij} = \begin{cases} 2f_{ij} & \text{si } a_{ii} = a_{jj}, \\ \min \left\{ (a_{ii} - a_{jj})^2 + 2|(a_{ii} - a_{jj})^2 - f_{ij}|, \frac{f_{ij}^2}{(a_{ii} - a_{jj})^2} \right\} & \text{en otro caso.} \end{cases}$$

¹⁵E. Jiang and X. Zhan. Lower bounds for the spread of a Hermitian matrix. *Linear Algebra Appl.*, 256:153-163, 1997.

Cota inferior de Jiang & Zhan¹⁵

Teorema 5:

Sea $A = (a_{ij})_{n \times n}$ una matriz Hermítica. Entonces,

$$s^2(A) \geq \max_{i \neq j} \left\{ (a_{ii} - a_{jj})^2 + 2 \sum_{k \neq i}^n |a_{ik}|^2 + 2 \sum_{k \neq j}^n |a_{jk}|^2 + e_{ij} \right\}, \quad (7)$$

donde,

$$e_{ij} = \begin{cases} 2f_{ij} & \text{si } a_{ii} = a_{jj}, \\ \min \left\{ (a_{ii} - a_{jj})^2 + 2|(a_{ii} - a_{jj})^2 - f_{ij}|, \frac{f_{ij}^2}{(a_{ii} - a_{jj})^2} \right\} & \text{en otro caso.} \end{cases}$$

y f_{ij}

¹⁵E. Jiang and X. Zhan. Lower bounds for the spread of a Hermitian matrix. Linear Algebra Appl, 256:153-163, 1997.

Cota inferior de Jiang & Zhan¹⁵

Teorema 5:

Sea $A = (a_{ij})_{n \times n}$ una matriz Hermítica. Entonces,

$$s^2(A) \geq \max_{i \neq j} \left\{ (a_{ii} - a_{jj})^2 + 2 \sum_{k \neq i}^n |a_{ik}|^2 + 2 \sum_{k \neq j}^n |a_{jk}|^2 + e_{ij} \right\}, \quad (7)$$

donde,

$$e_{ij} = \begin{cases} 2f_{ij} & \text{si } a_{ii} = a_{jj}, \\ \min \left\{ (a_{ii} - a_{jj})^2 + 2|(a_{ii} - a_{jj})^2 - f_{ij}|, \frac{f_{ij}^2}{(a_{ii} - a_{jj})^2} \right\} & \text{en otro caso.} \end{cases}$$

$$\text{y } f_{ij} = \left| \sum_{k \neq i}^n |a_{ik}|^2 - \right.$$

¹⁵E. Jiang and X. Zhan. Lower bounds for the spread of a Hermitian matrix. Linear Algebra Appl, 256:153-163, 1997.

Cota inferior de Jiang & Zhan¹⁵

Teorema 5:

Sea $A = (a_{ij})_{n \times n}$ una matriz Hermítica. Entonces,

$$s^2(A) \geq \max_{i \neq j} \left\{ (a_{ii} - a_{jj})^2 + 2 \sum_{k \neq i}^n |a_{ik}|^2 + 2 \sum_{k \neq j}^n |a_{jk}|^2 + e_{ij} \right\}, \quad (7)$$

donde,

$$e_{ij} = \begin{cases} 2f_{ij} & \text{si } a_{ii} = a_{jj}, \\ \min \left\{ (a_{ii} - a_{jj})^2 + 2|(a_{ii} - a_{jj})^2 - f_{ij}|, \frac{f_{ij}^2}{(a_{ii} - a_{jj})^2} \right\} & \text{en otro caso.} \end{cases}$$

$$y \quad f_{ij} = \left| \sum_{k \neq i}^n |a_{ik}|^2 - \sum_{k \neq j}^n |a_{jk}|^2 \right|.$$

¹⁵E. Jiang and X. Zhan. Lower bounds for the spread of a Hermitian matrix. Linear Algebra Appl, 256:153-163, 1997.

Cota inferior para $s_Q(G)$ (Establecida)¹³

Teorema 6:

¹³E. Andrade, G. Dahl, L. Leal, and M. Robbiano. New bounds for the signless Laplacian spread.

Cota inferior para $s_Q(G)$ (Establecida)¹³

Teorema 6:

Sea G un grafo de orden n con vértice de mayor grado Δ y vértice de menor grado δ .

¹³E. Andrade, G. Dahl, L. Leal, and M. Robbiano. New bounds for the signless Laplacian spread.

Cota inferior para $s_Q(G)$ (Establecida)¹³

Teorema 6:

Sea G un grafo de orden n con vértice de mayor grado Δ y vértice de menor grado δ .
Si $\Delta - \delta \geq 2$. Entonces

¹³E. Andrade, G. Dahl, L. Leal, and M. Robbiano. New bounds for the signless Laplacian spread.

Cota inferior para $s_Q(G)$ (Establecida)¹³

Teorema 6:

Sea G un grafo de orden n con vértice de mayor grado Δ y vértice de menor grado δ . Si $\Delta - \delta \geq 2$. Entonces

$$s_Q(G) \geq \sqrt{(\Delta - \delta)^2 + 2\Delta + 2\delta},$$

¹³E. Andrade, G. Dahl, L. Leal, and M. Robbiano. New bounds for the signless Laplacian spread.

Cota inferior para $s_Q(G)$ (Establecida)¹³

Teorema 6:

Sea G un grafo de orden n con vértice de mayor grado Δ y vértice de menor grado δ .
Si $\Delta - \delta \geq 2$. Entonces

$$s_Q(G) \geq \sqrt{(\Delta - \delta)^2 + 2\Delta + 2\delta}, \quad (8)$$

y de lo contrario (cuando $\Delta - \delta \leq 1$)

¹³E. Andrade, G. Dahl, L. Leal, and M. Robbiano. New bounds for the signless Laplacian spread.

Cota inferior para $s_Q(G)$ (Establecida)¹³

Teorema 6:

Sea G un grafo de orden n con vértice de mayor grado Δ y vértice de menor grado δ .
Si $\Delta - \delta \geq 2$. Entonces

$$s_Q(G) \geq \sqrt{(\Delta - \delta)^2 + 2\Delta + 2\delta}, \quad (8)$$

y de lo contrario (cuando $\Delta - \delta \leq 1$)

$$s_Q(G) \geq 2\sqrt{\Delta}, \quad (9)$$

¹³E. Andrade, G. Dahl, L. Leal, and M. Robbiano. New bounds for the signless Laplacian spread.
Submitted to Linear Algebra and its Applications, 2017

Cota inferior para $s_Q(G)$ (Establecida)¹³

Teorema 6:

Sea G un grafo de orden n con vértice de mayor grado Δ y vértice de menor grado δ .
Si $\Delta - \delta \geq 2$. Entonces

$$s_Q(G) \geq \sqrt{(\Delta - \delta)^2 + 2\Delta + 2\delta}, \quad (8)$$

y de lo contrario (cuando $\Delta - \delta \leq 1$)

$$s_Q(G) \geq 2\sqrt{\Delta}, \quad (9)$$

y la igualdad se cumple para $G \cong K_2$.

¹³E. Andrade, G. Dahl, L. Leal, and M. Robbiano. New bounds for the signless Laplacian spread.

Demostración del Teorema 6. $\left(s(A)^2 \geq \max_{i,j} \left\{ (a_{ii} - a_{jj})^2 + 2 \sum_{k \neq i}^n |a_{ik}|^2 + 2 \sum_{k \neq j}^n |a_{jk}|^2 \right\} \right) \quad (6) \Rightarrow \text{Teorema 4}$

Sea $Q_G = (q_{ij})_{n \times n}$ la matriz Laplaciana sin signo de G . Entonces Q_G es una matriz normal y por el Teorema 4

$$s_Q(G) \geq \Upsilon,$$

Demostración del Teorema 6. $\left(s(A)^2 \geq \max_{i,j} \left\{ (a_{ii} - a_{jj})^2 + 2 \sum_{k \neq i}^n |a_{ik}|^2 + 2 \sum_{k \neq j}^n |a_{jk}|^2 \right\} \right) \quad (6) \Rightarrow \text{Teorema 4}$

Sea $Q_G = (q_{ij})_{n \times n}$ la matriz Laplaciana sin signo de G . Entonces Q_G es una matriz normal y por el Teorema 4

$$s_Q(G) \geq \Upsilon,$$

donde

$$\Upsilon = \max_{i,j} \sqrt{(q_{ii} - q_{jj})^2 + 2 \sum_{s \neq i} |q_{is}|^2 + 2 \sum_{s \neq j} |q_{js}|^2}$$

Demostración del Teorema 6. $\left(s(A)^2 \geq \max_{i,j} \left\{ (a_{ii} - a_{jj})^2 + 2 \sum_{k \neq i}^n |a_{ik}|^2 + 2 \sum_{k \neq j}^n |a_{jk}|^2 \right\} \right) \quad (6) \Rightarrow \text{Teorema 4}$

Sea $Q_G = (q_{ij})_{n \times n}$ la matriz Laplaciana sin signo de G . Entonces Q_G es una matriz normal y por el Teorema 4

$$s_Q(G) \geq \Upsilon,$$

donde

$$\begin{aligned} \Upsilon &= \max_{i,j} \sqrt{(q_{ii} - q_{jj})^2 + 2 \sum_{s \neq i} |q_{is}|^2 + 2 \sum_{s \neq j} |q_{js}|^2} \\ &= \max_{i,j} \sqrt{(d_i - d_j)^2 + 2(d_i + d_j)}. \end{aligned}$$

Demostración del Teorema 6. $\left(s(A)^2 \geq \max_{i,j} \left\{ (a_{ii} - a_{jj})^2 + 2 \sum_{k \neq i}^n |a_{ik}|^2 + 2 \sum_{k \neq j}^n |a_{jk}|^2 \right\} \right) \quad (6) \Rightarrow \text{Teorema 4}$

Sea $Q_G = (q_{ij})_{n \times n}$ la matriz Laplaciana sin signo de G . Entonces Q_G es una matriz normal y por el Teorema 4

$$s_Q(G) \geq \Upsilon,$$

donde

$$\begin{aligned} \Upsilon &= \max_{i,j} \sqrt{(q_{ii} - q_{jj})^2 + 2 \sum_{s \neq i} |q_{is}|^2 + 2 \sum_{s \neq j} |q_{js}|^2} \\ &= \max_{i,j} \sqrt{(d_i - d_j)^2 + 2(d_i + d_j)}. \end{aligned}$$

Además, al fijar $d_j - d_i$ a algún número $k \in \{0, 1, \dots, \Delta - \delta\}$,

Demostración del Teorema 6. $\left(s(A)^2 \geq \max_{i,j} \left\{ (a_{ii} - a_{jj})^2 + 2 \sum_{k \neq i}^n |a_{ik}|^2 + 2 \sum_{k \neq j}^n |a_{jk}|^2 \right\} \right) \quad (6) \Rightarrow \text{Teorema 4}$

Sea $Q_G = (q_{ij})_{n \times n}$ la matriz Laplaciana sin signo de G . Entonces Q_G es una matriz normal y por el Teorema 4

$$s_Q(G) \geq \Upsilon,$$

donde

$$\begin{aligned} \Upsilon &= \max_{i,j} \sqrt{(q_{ii} - q_{jj})^2 + 2 \sum_{s \neq i} |q_{is}|^2 + 2 \sum_{s \neq j} |q_{js}|^2} \\ &= \max_{i,j} \sqrt{(d_i - d_j)^2 + 2(d_i + d_j)}. \end{aligned}$$

Además, al fijar $d_j - d_i$ a algún número $k \in \{0, 1, \dots, \Delta - \delta\}$, se tiene

$$\Upsilon = \max_k \max_{d_j - d_i = k} \sqrt{(d_j - d_i)^2 + 2(d_j + d_i)}$$

Demostración del Teorema 6. $(s_Q(G) \geq \sqrt{(\Delta - \delta)^2 + 2\Delta + 2\delta})$ (8) $(s_Q(G) \geq 2\sqrt{\Delta})$ (9)

$$\Upsilon = \max_k \max_{d_j - d_i = k} \sqrt{k^2 + 2(2d_i + k)}$$

Demostración del Teorema 6. $(s_Q(G) \geq \sqrt{(\Delta - \delta)^2 + 2\Delta + 2\delta})$ (8) $(s_Q(G) \geq 2\sqrt{\Delta})$ (9)

$$\begin{aligned}\Upsilon &= \max_k \max_{d_j - d_i = k} \sqrt{k^2 + 2(2d_i + k)} \\ &= \max_k \sqrt{k^2 + 2((2\Delta - k) + k)},\end{aligned}$$

Demostración del Teorema 6. $(s_Q(G) \geq \sqrt{(\Delta - \delta)^2 + 2\Delta + 2\delta})$ (8) $(s_Q(G) \geq 2\sqrt{\Delta})$ (9)

$$\begin{aligned}\Upsilon &= \max_k \max_{d_j - d_i = k} \sqrt{k^2 + 2(2d_i + k)} \\ &= \max_k \sqrt{k^2 + 2((2\Delta - k) + k)}, \\ &= \max_k \sqrt{k^2 + 4\Delta - 2k}.\end{aligned}$$

Demostración del Teorema 6. $(s_Q(G) \geq \sqrt{(\Delta - \delta)^2 + 2\Delta + 2\delta})$ (8) $(s_Q(G) \geq 2\sqrt{\Delta})$ (9)

$$\begin{aligned}
 \Upsilon &= \max_k \max_{d_j - d_i = k} \sqrt{k^2 + 2(2d_i + k)} \\
 &= \max_k \sqrt{k^2 + 2((2\Delta - k) + k)}, \\
 &= \max_k \sqrt{k^2 + 4\Delta - 2k}.
 \end{aligned}$$

Pero $k^2 - 2k + 4\Delta$ es un polinomio cuadrático convexo en k ,

Demostración del Teorema 6. $(s_Q(G) \geq \sqrt{(\Delta - \delta)^2 + 2\Delta + 2\delta})$ (8) $(s_Q(G) \geq 2\sqrt{\Delta})$ (9)

$$\begin{aligned}
 \Upsilon &= \max_k \max_{d_j - d_i = k} \sqrt{k^2 + 2(2d_i + k)} \\
 &= \max_k \sqrt{k^2 + 2((2\Delta - k) + k)}, \\
 &= \max_k \sqrt{k^2 + 4\Delta - 2k}.
 \end{aligned}$$

Pero $k^2 - 2k + 4\Delta$ es un polinomio cuadrático convexo en k , se tiene que su máximo sobre $k \in \{0, 1, \dots, \Delta - \delta\}$.

Demostración del Teorema 6. $(s_Q(G) \geq \sqrt{(\Delta - \delta)^2 + 2\Delta + 2\delta})$ (8) $(s_Q(G) \geq 2\sqrt{\Delta})$ (9)

$$\begin{aligned} \Upsilon &= \max_k \max_{d_j - d_i = k} \sqrt{k^2 + 2(2d_i + k)} \\ &= \max_k \sqrt{k^2 + 2((2\Delta - k) + k)}, \\ &= \max_k \sqrt{k^2 + 4\Delta - 2k}. \end{aligned}$$

Pero $k^2 - 2k + 4\Delta$ es un polinomio cuadrático convexo en k , se tiene que su máximo sobre $k \in \{0, 1, \dots, \Delta - \delta\}$.

Por lo tanto,

$$\Upsilon = \max\{2\sqrt{\Delta}, \sqrt{(\Delta - \delta)^2 + 2(\Delta + \delta)}\},$$

se da el resultado deseado.

Cota inferior para $s_Q(G)$ (Establecida)¹³

Teorema 7:

¹³E. Andrade, G. Dahl, L. Leal, and M. Robbiano. New bounds for the signless Laplacian spread. Submitted to Linear Algebra and its Applications, 2017

Cota inferior para $s_Q(G)$ (Establecida)¹³

Teorema 7:

Sea G un grafo de orden n con vértice de mayor grado Δ y vértice de menor grado δ .
Entonces

¹³E. Andrade, G. Dahl, L. Leal, and M. Robbiano. New bounds for the signless Laplacian spread. Submitted to Linear Algebra and its Applications, 2017

Cota inferior para $s_Q(G)$ (Establecida)¹³

Teorema 7:

Sea G un grafo de orden n con vértice de mayor grado Δ y vértice de menor grado δ .
Entonces

$$s_Q(G) \geq \sqrt{(\Delta - \delta)^2 + 2\Delta + 2\delta + 1}. \quad (10)$$

¹³E. Andrade, G. Dahl, L. Leal, and M. Robbiano. New bounds for the signless Laplacian spread.

Cota inferior para $s_Q(G)$ (Establecida)¹³

Teorema 7:

Sea G un grafo de orden n con vértice de mayor grado Δ y vértice de menor grado δ .
Entonces

$$s_Q(G) \geq \sqrt{(\Delta - \delta)^2 + 2\Delta + 2\delta + 1}. \quad (10)$$

¹³E. Andrade, G. Dahl, L. Leal, and M. Robbiano. New bounds for the signless Laplacian spread.

$$\text{Demostración del Teorema 7. } \left(s^2(A) \geq \max_{i \neq j} \left\{ (a_{ii} - a_{jj})^2 + 2 \sum_{k \neq i} |a_{ik}|^2 + 2 \sum_{k \neq j} |a_{jk}|^2 + e_{ij} \right\} \right) \quad (7)$$

Sea $Q_G = (q_{ij})_{n \times n}$ la matriz Laplaciana sin signo de G .

$$\text{Demostración del Teorema 7. } \left(s^2(A) \geq \max_{i \neq j} \left\{ (a_{ii} - a_{jj})^2 + 2 \sum_{k \neq i} |a_{ik}|^2 + 2 \sum_{k \neq j} |a_{jk}|^2 + e_{ij} \right\} \right) \quad (7)$$

Sea $Q_G = (q_{ij})_{n \times n}$ la matriz Laplaciana sin signo de G . Entonces Q_G es una matriz simétrica y por el Teorema 5 (ecuación (7)), se tiene

$$s_Q(G) \geq \Gamma,$$

$$\text{Demostración del Teorema 7. } \left(s^2(A) \geq \max_{i \neq j} \left\{ (a_{ii} - a_{jj})^2 + 2 \sum_{k \neq i} |a_{ik}|^2 + 2 \sum_{k \neq j} |a_{jk}|^2 + e_{ij} \right\} \right) \quad (7)$$

Sea $Q_G = (q_{ij})_{n \times n}$ la matriz Laplaciana sin signo de G . Entonces Q_G es una matriz simétrica y por el Teorema 5 (ecuación (7)), se tiene

$$s_Q(G) \geq \Gamma,$$

donde

$$\Gamma = \max_{i \neq j} \sqrt{(q_{ii} - q_{jj})^2 + 2 \sum_{s \neq i} |q_{is}|^2 + 2 \sum_{s \neq j} |q_{js}|^2 + e_{ij}},$$

$$\text{Demostración del Teorema 7. } \left(s^2(A) \geq \max_{i \neq j} \left\{ (a_{ii} - a_{jj})^2 + 2 \sum_{k \neq i} |a_{ik}|^2 + 2 \sum_{k \neq j} |a_{jk}|^2 + e_{ij} \right\} \right) \quad (7)$$

Sea $Q_G = (q_{ij})_{n \times n}$ la matriz Laplaciana sin signo de G . Entonces Q_G es una matriz simétrica y por el Teorema 5 (ecuación (7)), se tiene

$$s_Q(G) \geq \Gamma,$$

donde

$$\Gamma = \max_{i \neq j} \sqrt{(q_{ii} - q_{jj})^2 + 2 \sum_{s \neq i} |q_{is}|^2 + 2 \sum_{s \neq j} |q_{js}|^2 + e_{ij}},$$

e_{ij} y f_{ij} son los dados en el Teorema 5.

Demostración del Teorema 7. $\left(s_Q(G) \geq \sqrt{(\Delta - \delta)^2 + 2\Delta + 2\delta + 1} \right)$ (10)

Demostración del Teorema 7. $(s_Q(G) \geq \sqrt{(\Delta - \delta)^2 + 2\Delta + 2\delta + 1})$ (10)

Si $q_{j_0j_0} = q_{i_0i_0}$, entonces $e_{i_0j_0} = 2f_{i_0j_0}$; de otra manera

$$e_{i_0j_0} = \min \left\{ (q_{i_0i_0} - q_{j_0j_0})^2 + 2|(q_{i_0i_0} - q_{j_0j_0})^2 - f_{i_0j_0}|, \frac{f_{i_0j_0}^2}{(q_{i_0i_0} - q_{j_0j_0})^2} \right\},$$

Demostración del Teorema 7. $\left(s_Q(G) \geq \sqrt{(\Delta - \delta)^2 + 2\Delta + 2\delta + 1}\right)$ (10)

Si $q_{j_0j_0} = q_{i_0i_0}$, entonces $e_{i_0j_0} = 2f_{i_0j_0}$; de otra manera

$$e_{i_0j_0} = \min \left\{ (q_{i_0i_0} - q_{j_0j_0})^2 + 2|(q_{i_0i_0} - q_{j_0j_0})^2 - f_{i_0j_0}|, \frac{f_{i_0j_0}^2}{(q_{i_0i_0} - q_{j_0j_0})^2} \right\},$$

con

$$f_{i_0j_0} = \left| \sum_{k \neq i_0} |q_{i_0k}|^2 - \sum_{k \neq j_0} |q_{j_0k}|^2 \right| = |d(v_{i_0}) - d(v_{j_0})| = \Delta - \delta.$$

Demostración del Teorema 7. $(s_Q(G) \geq \sqrt{(\Delta - \delta)^2 + 2\Delta + 2\delta + 1})$ (10)

Si $q_{j_0j_0} = q_{i_0i_0}$, entonces $e_{i_0j_0} = 2f_{i_0j_0}$; de otra manera

$$e_{i_0j_0} = \min \left\{ (q_{i_0i_0} - q_{j_0j_0})^2 + 2|(q_{i_0i_0} - q_{j_0j_0})^2 - f_{i_0j_0}|, \frac{f_{i_0j_0}^2}{(q_{i_0i_0} - q_{j_0j_0})^2} \right\},$$

con

$$f_{i_0j_0} = \left| \sum_{k \neq i_0} |q_{i_0k}|^2 - \sum_{k \neq j_0} |q_{j_0k}|^2 \right| = |d(v_{i_0}) - d(v_{j_0})| = \Delta - \delta.$$

Así,

$$e_{i_0j_0} = \min\{(\Delta - \delta)^2 + 2|(\Delta - \delta)^2 - (\Delta - \delta)|, 1\} = 1.$$

Demostración del Teorema 7. $(s_Q(G) \geq \sqrt{(\Delta - \delta)^2 + 2\Delta + 2\delta + 1})$ (10)

Si $q_{j_0j_0} = q_{i_0i_0}$, entonces $e_{i_0j_0} = 2f_{i_0j_0}$; de otra manera

$$e_{i_0j_0} = \min \left\{ (q_{i_0i_0} - q_{j_0j_0})^2 + 2|(q_{i_0i_0} - q_{j_0j_0})^2 - f_{i_0j_0}|, \frac{f_{i_0j_0}^2}{(q_{i_0i_0} - q_{j_0j_0})^2} \right\},$$

con

$$f_{i_0j_0} = \left| \sum_{k \neq i_0} |q_{i_0k}|^2 - \sum_{k \neq j_0} |q_{j_0k}|^2 \right| = |d(v_{i_0}) - d(v_{j_0})| = \Delta - \delta.$$

Así,

$$e_{i_0j_0} = \min\{(\Delta - \delta)^2 + 2|(\Delta - \delta)^2 - (\Delta - \delta)|, 1\} = 1.$$

Por lo tanto,

$$\Gamma \geq \sqrt{(\Delta - \delta)^2 + 2\Delta + 2\delta + 1}.$$

Cota inferior para $s_Q(G)$ (Establecida)¹³

Corolario 7.1:

¹³E. Andrade, G. Dahl, L. Leal, and M. Robbiano. New bounds for the signless Laplacian spread. Submitted to Linear Algebra and its Applications, 2017

Cota inferior para $s_Q(G)$ (Establecida)¹³

Corolario 7.1:

Sea G un grafo k -regular. Entonces

¹³E. Andrade, G. Dahl, L. Leal, and M. Robbiano. New bounds for the signless Laplacian spread.

Submitted to Linear Algebra and its Applications, 2017

Cota inferior para $s_Q(G)$ (Establecida)¹³

Corolario 7.1:

Sea G un grafo k -regular. Entonces $s_Q(G) \geq \sqrt{4k + 1}$

¹³E. Andrade, G. Dahl, L. Leal, and M. Robbiano. New bounds for the signless Laplacian spread.

Cota inferior para $s_Q(G)$ (Establecida)¹³

Corolario 7.1:

Sea G un grafo k -regular. Entonces $s_Q(G) \geq \sqrt{4k + 1}$

Demostración:

Tomando la ecuación (10)

$$s_Q(G) \geq \sqrt{(\Delta - \delta)^2 + 2\Delta + 2\delta + 1},$$

con $\Delta = \delta = k$.

¹³E. Andrade, G. Dahl, L. Leal, and M. Robbiano. New bounds for the signless Laplacian spread. Submitted to Linear Algebra and its Applications, 2017

Cota inferior para $s_Q(G)$ (Establecida)¹³

Teorema 8:

¹³E. Andrade, G. Dahl, L. Leal, and M. Robbiano. New bounds for the signless Laplacian spread.

Cota inferior para $s_Q(G)$ (Establecida)¹³

Teorema 8:

Sea G un grafo conectado con $n \geq 2$ vértices. Entonces

¹³E. Andrade, G. Dahl, L. Leal, and M. Robbiano. New bounds for the signless Laplacian spread.

Cota inferior para $s_Q(G)$ (Establecida)¹³

Teorema 8:

Sea G un grafo conectado con $n \geq 2$ vértices. Entonces

$$s_Q(G) \geq \frac{2}{n} \sqrt{nM_1(G) - 4m^2 + 2mn}. \quad (11)$$

¹³E. Andrade, G. Dahl, L. Leal, and M. Robbiano. New bounds for the signless Laplacian spread.

$$\text{Demostración del Teorema 8. } \left(s_Q(G) \geq \frac{2}{n} \sqrt{nM_1(G) - 4m^2 + 2mn} \right) \quad (11)$$

Para esta demostración se usará la desigualdad⁶ con $a_i = 1$ y $b_i = q_i$, para $1 \leq i \leq n$.

⁶S. Izumino and Y. Seo. Ozeki's inequality and noncommutative covariance. Nihonkai Math. J., 8:55-58, 1997.

$$\left(\sum_{i=1}^n a_i^2 \right) \left(\sum_{i=1}^n b_i^2 \right) - \left(\sum_{i=1}^n a_i b_i \right)^2 \leq \frac{n^2}{4} (M_1 M_2 - m_1 m_2)^2.$$

$$\text{Demostración del Teorema 8. } \left(s_Q(G) \geq \frac{2}{n} \sqrt{nM_1(G) - 4m^2 + 2mn} \right) \quad (11)$$

Para esta demostración se usará la desigualdad⁶ con $a_i = 1$ y $b_i = q_i$, para $1 \leq i \leq n$.
 Donde $0 < 1 \leq a_i \leq 1$, y $0 < q_n \leq b_i \leq q_1$, $1 \leq i \leq n$.

⁶S. Izumino and Y. Seo. Ozeki's inequality and noncommutative covariance. Nihonkai Math. J., 8:55-58, 1997.

$$\left(\sum_{i=1}^n a_i^2 \right) \left(\sum_{i=1}^n b_i^2 \right) - \left(\sum_{i=1}^n a_i b_i \right)^2 \leq \frac{n^2}{4} (M_1 M_2 - m_1 m_2)^2.$$

$$\text{Demostración del Teorema 8. } \left(s_Q(G) \geq \frac{2}{n} \sqrt{nM_1(G) - 4m^2 + 2mn} \right) \quad (11)$$

Para esta demostración se usará la desigualdad⁶ con $a_i = 1$ y $b_i = q_i$, para $1 \leq i \leq n$.

Donde $0 < 1 \leq a_i \leq 1$, y $0 < q_n \leq b_i \leq q_1$, $1 \leq i \leq n$.

Entonces $M_1M_2 = 1q_1$ y $m_1m_2 = 1q_n$. Por la desigualdad, se tiene

⁶S. Izumino and Y. Seo. Ozeki's inequality and noncommutative covariance. Nihonkai Math. J., 8:55-58, 1997.

$$\left(\sum_{i=1}^n a_i^2 \right) \left(\sum_{i=1}^n b_i^2 \right) - \left(\sum_{i=1}^n a_i b_i \right)^2 \leq \frac{n^2}{4} (M_1M_2 - m_1m_2)^2.$$

Demostración del Teorema 8. $\left(s_Q(G) \geq \frac{2}{n} \sqrt{nM_1(G) - 4m^2 + 2mn} \right) \quad (11)$

Para esta demostración se usará la desigualdad⁶ con $a_i = 1$ y $b_i = q_i$, para $1 \leq i \leq n$.

Donde $0 < 1 \leq a_i \leq 1$, y $0 < q_n \leq b_i \leq q_1$, $1 \leq i \leq n$.

Entonces $M_1M_2 = 1q_1$ y $m_1m_2 = 1q_n$. Por la desigualdad, se tiene

$$\sum_{i=1}^n 1 \sum_{i=1}^n q_i^2 - \left(\sum_{i=1}^n q_i \right)^2 \leq \frac{1}{4} n^2 (q_1 - q_n)^2.$$

⁶S. Izumino and Y. Seo. Ozeki's inequality and noncommutative covariance. Nihonkai Math. J., 8:55-58, 1997.

$$\left(\sum_{i=1}^n a_i^2 \right) \left(\sum_{i=1}^n b_i^2 \right) - \left(\sum_{i=1}^n a_i b_i \right)^2 \leq \frac{n^2}{4} (M_1M_2 - m_1m_2)^2.$$

$$\text{Demostración del Teorema 8. } \left(s_Q(G) \geq \frac{2}{n} \sqrt{nM_1(G) - 4m^2 + 2mn} \right) \quad (11)$$

Para esta demostración se usará la desigualdad⁶ con $a_i = 1$ y $b_i = q_i$, para $1 \leq i \leq n$.

Donde $0 < 1 \leq a_i \leq 1$, y $0 < q_n \leq b_i \leq q_1$, $1 \leq i \leq n$.

Entonces $M_1M_2 = 1q_1$ y $m_1m_2 = 1q_n$. Por la desigualdad, se tiene

$$\sum_{i=1}^n 1 \sum_{i=1}^n q_i^2 - \left(\sum_{i=1}^n q_i \right)^2 \leq \frac{1}{4} n^2 (q_1 - q_n)^2.$$

Por lo tanto,

⁶S. Izumino and Y. Seo. Ozeki's inequality and noncommutative covariance. Nihonkai Math. J., 8:55-58, 1997.

$$\left(\sum_{i=1}^n a_i^2 \right) \left(\sum_{i=1}^n b_i^2 \right) - \left(\sum_{i=1}^n a_i b_i \right)^2 \leq \frac{n^2}{4} (M_1M_2 - m_1m_2)^2.$$

Demostración del Teorema 8. $\left(s_Q(G) \geq \frac{2}{n} \sqrt{nM_1(G) - 4m^2 + 2mn} \right) \quad (11)$

Para esta demostración se usará la desigualdad⁶ con $a_i = 1$ y $b_i = q_i$, para $1 \leq i \leq n$.

Donde $0 < 1 \leq a_i \leq 1$, y $0 < q_n \leq b_i \leq q_1$, $1 \leq i \leq n$.

Entonces $M_1M_2 = 1q_1$ y $m_1m_2 = 1q_n$. Por la desigualdad, se tiene

$$\sum_{i=1}^n 1 \sum_{i=1}^n q_i^2 - \left(\sum_{i=1}^n q_i \right)^2 \leq \frac{1}{4} n^2 (q_1 - q_n)^2.$$

Por lo tanto,

$$n(2m + M_1(G)) - 4m^2 \leq \frac{1}{4} n^2 (q_1 - q_n)^2$$

⁶S. Izumino and Y. Seo. Ozeki's inequality and noncommutative covariance. Nihonkai Math. J., 8:55-58, 1997.

$$\left(\sum_{i=1}^n a_i^2 \right) \left(\sum_{i=1}^n b_i^2 \right) - \left(\sum_{i=1}^n a_i b_i \right)^2 \leq \frac{n^2}{4} (M_1M_2 - m_1m_2)^2.$$

$$\text{Demostración del Teorema 8. } \left(s_Q(G) \geq \frac{2}{n} \sqrt{nM_1(G) - 4m^2 + 2mn} \right) \quad (11)$$

Para esta demostración se usará la desigualdad⁶ con $a_i = 1$ y $b_i = q_i$, para $1 \leq i \leq n$.

Donde $0 < 1 \leq a_i \leq 1$, y $0 < q_n \leq b_i \leq q_1$, $1 \leq i \leq n$.

Entonces $M_1M_2 = 1q_1$ y $m_1m_2 = 1q_n$. Por la desigualdad, se tiene

$$\sum_{i=1}^n 1 \sum_{i=1}^n q_i^2 - \left(\sum_{i=1}^n q_i \right)^2 \leq \frac{1}{4} n^2 (q_1 - q_n)^2.$$

Por lo tanto,

$$\begin{aligned} n(2m + M_1(G)) - 4m^2 &\leq \frac{1}{4} n^2 (q_1 - q_n)^2 \\ \frac{8m + 4M_1(G)}{n} - \frac{16m^2}{n^2} &\leq s_Q^2(G) \end{aligned}$$

⁶S. Izumino and Y. Seo. Ozeki's inequality and noncommutative covariance. Nihonkai Math. J., 8:55-58, 1997.

$$\left(\sum_{i=1}^n a_i^2 \right) \left(\sum_{i=1}^n b_i^2 \right) - \left(\sum_{i=1}^n a_i b_i \right)^2 \leq \frac{n^2}{4} (M_1M_2 - m_1m_2)^2.$$

AGENDA

- 1 Preliminares
 - Notaciones
 - Definiciones
 - Propiedades
 - Matrices asociadas a un grafo G
 - ✓ A_G ✓ L_G ✓ Q_G
 - ✓ Espectro ✓ Amplitud
- 2 Distintas cotas para las amplitudes del espectro de matrices asociadas a un grafo
- Cotas superiores
 - ✓ Para $s(A)$ de Mirsky
 - ✓ Para $s_L(G)$ de Chen & Das
 - ✓ Para $s_Q(G)$ (Establecida)
- Cotas inferiores
 - ✓ Para $s(A)$ de Barnes & Hoffman
 - ✓ Para $s(A)$ de Jiang & Zhan
 - ✓ Para $s_Q(G)$ (Establecida)
- 3 Comparación
- 4 Conclusiones

Tabla comparativa de cotas inferiores¹⁰

	n	m	Δ	δ	$l_{2,2}$	$l_{2,3}$	s_{10}	s_{11}	Amplitud
	40	519	32	20	26.99	21.38	11.81	15.77	36.03
$K_{1,3}$	4	3	3	1	3.18	4	3	3.16	3.46
K_5	5	10	4	4	5	5	4	4.12	5

$$l_{2,2} : s_Q(G) \geq \frac{M_1(G)}{m} - \sqrt{\frac{2m^3 + m^2 M_1(G) - M_1^2(G)}{(n-1)m^2}} \quad G \cong K_n$$

$$l_{2,3} : s_Q(G) \geq \frac{1}{n-1} \sqrt{(n\Delta)^2 + 8(m-\Delta)(2m-n\Delta)} \quad G \cong K_n$$

$$s_{10} : s_Q(G) \geq \sqrt{(\Delta - \delta)^2 + 2\Delta + 2\delta + 1}$$

$$s_{11} : s_Q(G) \geq \frac{2}{n} \sqrt{nM_1(G) - 4m^2 + 2mn}$$

¹⁰M. Liu and B. Liu. The signless Laplacian spread. Linear Algebra Appl, 432:505-514, 2010.

Conclusiones

En este trabajo de tesis se estudió la amplitud del espectro Laplaciano sin signo de un grafo G , para ello se vio la definición de un grafo, sus propiedades, algunas de sus clasificaciones, las diversas matrices asociadas a este y resultados clásicos necesarios para el desarrollo de los objetivos trazados. Se realizaron revisiones bibliográficas para la amplitud de una matriz, amplitud del espectro Laplaciano y Laplaciano sin signo de un grafo y se mostraron resultados relevantes sobre las cotas inferiores y superiores de la amplitud del espectro Laplaciano sin signo de un grafo y se observó el ajuste que tienen. Por ello se propone seguir trabajando en cotas inferiores y superiores que den mejores aproximaciones y cumplan la igualdad para una gran cantidad de grafos.

Conclusiones

En este trabajo de tesis se estudió la amplitud del espectro Laplaciano sin signo de un grafo G , para ello se vio la definición de un grafo, sus propiedades, algunas de sus clasificaciones, las diversas matrices asociadas a este y resultados clásicos necesarios para el desarrollo de los objetivos trazados. Se realizaron revisiones bibliográficas para la amplitud de una matriz, amplitud del espectro Laplaciano y Laplaciano sin signo de un grafo y se mostraron resultados relevantes sobre las cotas inferiores y superiores de la amplitud del espectro Laplaciano sin signo de un grafo y se observó el ajuste que tienen. Por ello se propone seguir trabajando en cotas inferiores y superiores que den mejores aproximaciones y cumplan la igualdad para una gran cantidad de grafos.

¡Gracias por su atención!